

TRANSISTOR VERGLEICHSLISTE

Teil 2: Siliziumtransistoren

TRANSISTOR VERGLEICHSLISTE

Teil 2: Siliziumtransistoren

~~DR~~
~~MV~~

**MILITÄRVERLAG
DER DEUTSCHEN DEMOKRATISCHEN
REPUBLIK**

Diese Transistorvergleichsliste wurde im Auftrag des VEB Industrievertrieb Rundfunk und Fernsehen Leipzig hergestellt.

Inhaltsverzeichnis

Vorwort	7
1. Handhabung der Vergleichsliste	9
2. Zusammenstellung der Halbleitersymbole des VEB Halbleiterwerk Frankfurt (Oder)	10
3. Zusammenstellung der in der Vergleichsliste verwendeten Symbole und ihre Definition	13
4. Typenübersicht der Vergleichsliste	16
5. Mathematische Zusammenhänge	24
5.1. Bedeutung der Vierpolparameter	24
5.2. Berechnung der h-Parameter für die Emitter- und Kollektorschaltung aus den Werten der Basisschaltung	25
5.3. Berechnung der h-Parameter für die Basis- und Kollektorschaltung aus den Werten der Emitterschaltung	26
5.4. Berechnung der h-Parameter für die Basis- und Emitterschaltung aus den Werten der Kollektorschaltung	26
5.5. Berechnung der Y-Parameter der Basisschaltung aus den Parametern der Emitterschaltung	27
5.6. Berechnung der Y-Parameter der Emitterschaltung aus den Parametern der Basisschaltung	27
5.7. Zusammenhang zwischen den h- und Y-Parametern	27
5.8. Berechnung von Betriebsgrößen	28
6. Transistorvergleichsliste	32
6.1. npn-Siliziumtransistor für rauscharme Eingangsstufen von NF-Verstärkern sowie NF-Vor- und Treiberstufen	32
6.2. npn-Siliziumtransistor für NF-Vor- und Treiberstufen	42
6.3. npn-Siliziumtransistor für Breitband-, NF-, HF- sowie mittelschnelle Schaltstufen	50
6.4. npn-Siliziumtransistor für NF-, HF- sowie schnelle Schaltstufen	60

6.5.	pnp-Siliziumtransistor für NF-Vor- und Treiberstufen sowie Sonderzwecke	70
6.6.	npn-Siliziumtransistor für HF-Verstärker und allgemeine Anwendung	88
6.7.	npn-Siliziumtransistor zum Einsatz in geregelten FS-ZF-Verstärkerstufen in Emitterschaltung	102
6.8.	npn-Siliziumtransistor zum Einsatz in nicht geregelten FS-ZF-Verstärkerstufen in Emitterschaltung	104
6.9.	npn-Siliziumtransistor zum Einsatz in Videoendstufen	106
6.10.	npn-Siliziumtransistor zur Ansteuerung von Ziffernanzeigeröhren	110
6.11.	npn-Siliziumtransistor zum Einsatz in Datenverarbeitungsanlagen, digitale Anwendung und logische Schaltungen	112
6.12.	npn-Siliziumtransistor für HF-Verstärker und Oszillatoren bis 100 MHz	118
6.13.	npn-Siliziumtransistor für HF-Verstärker und Oszillatoren bis 260 MHz	120
7.	Zusammenstellungen der Bauformen	122
8.	Anschriftenverzeichnis der Fachfilialen, Bastler- und Amateurfilialen des VEB RFT Industrievertrieb	124

Vorwort

Die Halbleiterindustrie in vielen Ländern brachte ein großes Sortiment von Bauelementen auf den Markt. Das Angebot an Siliziumtransistoren ist in qualitativer, aber auch in quantitativer Hinsicht so groß geworden, daß es oftmals sehr schwierig ist, sich in dieser Vielzahl der Typen zurechtzufinden. Unterschiedliche Ausführungen, Bauformen und Typenbezeichnungen kennzeichnen das Vordringen nach immer höheren Frequenzen und größeren Leistungen. Ohne Kenntnis der wichtigsten Parameter ist es nahezu unmöglich, den richtigen Transistor für einen bestimmten Verwendungszweck herauszufinden.

Neben Germaniumtransistoren führt der VEB Industrievertrieb Rundfunk und Fernsehen in der DDR in seinen Amateur- und Bastlerfilialen ein reichhaltiges Sortiment an Siliziumtransistoren. Mit der vorliegenden Vergleichsliste will der VEB Industrievertrieb Rundfunk und Fernsehen das Informationsbedürfnis seiner Kunden decken, da den Bastlern und Amateuren oftmals die technischen Unterlagen für den zum Kauf angebotenen Transistor nicht zur Verfügung stehen.

Die Vergleichsliste ist in sich abgeschlossen. Sie enthält neben den mathematischen Beziehungen der möglichen Schaltungsarten die Definitionen der verwendeten Symbole.

Es wurden dabei die zur Zeit bekannten Siliziumtransistoren aus der Fertigung der Herstellerbetriebe der DDR mit denen ausländischer Hersteller in den wichtigsten Parametern verglichen. Es muß allerdings betont werden, daß eine völlige Äquivalenz nicht gegeben ist. Der Vergleich der Typen erfolgt dabei entsprechend den vom Herstellerbetrieb genannten Anwendungsmöglichkeiten.

In den einzelnen Gruppen wurden dem Transistortyp aus der DDR die in den Hauptparametern übereinstimmenden Typen ausländischer Hersteller gegenübergestellt. Die Arbeit mit der Transistorvergleichsliste wird noch erleichtert, indem alle Anschlußpunkte der Transistoren aus der Liste zu ersehen sind. Dadurch ergibt sich für den Amateur ein weiterer Vorteil, da das Bestimmen des Kollektors, der Basis, des Emitters usw. wegfällt. In dem

vielseitigen Angebot von Siliziumtransistoren soll die Vergleichsliste dem Amateur und dem an der Elektronik interessierten Kunden bei der Auswahl und beim Kauf von Transistoren behilflich sein. Einen Anspruch auf Vollständigkeit erhebt die Vergleichsliste nicht.

Leipzig, 1975

*VEB Industrievertrieb
Rundfunk und Fernsehen*

1. Handhabung der Vergleichsliste

Die Vergleichsliste wurde in Gruppen unterteilt. Innerhalb dieser Gruppen sind die einzelnen ähnlichen Typen zusammengefaßt. Die Gruppenbildung ist dabei jedoch nicht so zu verstehen, daß die Typen einer bestimmten Gruppe untereinander direkt austauschbar wären. Die Typen einer Gruppe sind einander jedoch in bestimmten Parametern ähnlich, so daß unter Beachtung der Betriebsgrößen der Transistoren entweder ein direkter Austausch bzw. bei Veränderung der Betriebsgrößen in vielen Fällen ein Austausch vorgenommen werden kann. Entscheidend für die Zuordnung der einzelnen Typen zu bestimmten Gruppen war der vom Hersteller für den Typ angegebene Verwendungszweck.

Bei einer derartigen Gruppenbildung läßt sich keine eindeutige Grenze zwischen den einzelnen Gruppen ziehen. So lassen sich zum Beispiel verschiedene Transistorarten mit Erfolg als NF- sowie als HF-Verstärker oder als Schalter einsetzen.

Es wurde in 11 Gruppen unterteilt. Dabei wurden in die Gruppen nur die gebräuchlichsten Typen aufgenommen.

Zur Vergleichsliste noch einige Anmerkungen. Die hinter den Reststromgrößen angegebenen Klammerwerte bezeichnen die Meßspannung bei der gemessenen Reststromgröße. Es wurden in jedem Falle die in der Herstellerunterlage angegebenen Symbole verwendet. Eine Zusammenstellung der Symbole soll das Arbeiten mit der Vergleichsliste erleichtern. Darüber hinaus wurden die in der DDR üblichen Symbole für Transistorkennwerte zusammengestellt. Ebenfalls dient die Zusammenstellung der mathematischen Beziehungen der Transistorparameter der Arbeitserleichterung.

2. Zusammenstellung der Halbleitersymbole des VEB Halbleiterwerk Frankfurt (Oder)

B b	= Basis, Basisschaltung
C c	= Kollektor, Kollektorschaltung
c ₁₁	= Kurzschlußeingangskapazität
c ₁₂	= Rückwirkungskapazität
c ₂₂	= Leerlaufausgangskapazität
c _{11s}	= Eingangskapazität MOS-FET
θ aL	= Umgebungstemperatur (maximal zulässige)
θ c	= Gehäusetemperatur
θ ch	= Kanaltemperatur MOS-FET
θ jL	= Sperrschichttemperatur
E e	= Emitter, Emitterschaltung
f _{h21b}	= Grenzfrequenz der Kurzschlußstromverstärkung in Basisschaltung
f _{h21e}	= Grenzfrequenz der Kurzschlußstromverstärkung in Emitterschaltung
f _T	= Übergangsfrequenz
F	= Rauschfaktor
f	= Meßfrequenz
h ₁₁	= Kurzschlußeingangswiderstand
h ₁₂	= Leerlaufspannungsrückwirkung
h _{21E}	= Kurzschlußstromverstärkung
h ₂₂	= Leerlaufausgangsleitwert
I _B	= Basisstrom
I _{BL}	= Basisstrom (maximal zulässig)
I _C	= Kollektorstrom
I _{CBO}	= Kollektorreststrom (maximal zulässiger)
I _{CEO}	= Kollektorreststrom bei offener Basis
I _{CES}	= Kollektorreststrom bei Kurzschluß zwischen Emitter und Basis
\hat{I}_{CL}	= Kollektorspitzenstrom
I _D	= Drainstrom MOS-FET
I _{EL}	= Emitterstrom (maximal zulässiger)
k	= Ausschaltfaktor
P _{VL}	= Gesamtverlustleistung
R _{CESat}	= Sättigungswiderstand

R _e	= Eingangswiderstand
R _{thja}	= Gesamtwärmewiderstand
R _{thje}	= innerer Wärmewiderstand
R _{thCh/a}	= Wärmewiderstand MOS-FET
t _{avL}	= Integrationszeit (maximal zulässige)
t _d	= Verzögerungszeit
t _f	= Abfallzeit
t _r	= Anstiegszeit
t _s	= Speicherzeit
t _{on}	= Einschaltzeit
t _{off}	= Ausschaltzeit
τ _e	= Kollektorzeitkonstante
τ _i	= Emitterschaltungszeitkonstante
τ _r	= Anstiegszeitkonstante
τ _s	= Speicherzeitkonstante
U _{B...L}	= Basisspannung (maximale)
$\hat{U}_{B...L}$	= Basisspitzenspannung (maximale)
U _{CB}	= Kollektor-Basisspannung
U _{CE}	= Kollektor-Emitterspannung
U _{C...L}	= Kollektorspannung (maximale)
$\hat{U}_{C...L}$	= Kollektorspitzenspannung (maximale)
U _{CESat}	= Kollektor-Emitter-Sättigungsspannung
U _{CERest}	= Kollektor-Emitter-Restspannung
U _{DSV}	= Drain-Source-Spannung MOS-FET
U _{(BR)DSV}	= Drain-Source-Durchbruchspannung MOS-FET
U _{EB}	= Emitter-Basis-Spannung
U _{E...L}	= Emitterspannung (maximale)
$\hat{U}_{E...L}$	= Emitterspitzenspannung (maximale)
U _{GS}	= Gate-Source-Spannung MOS-FET
U _{pt}	= Sperrschichtberührungsspannung
U _T	= Schwellspannung MOS-FET
V _i	= Stromverstärkung
G _p	= Leistungsverstärkung
V _a	= Spannungsverstärkung
Y ₁₁	= Kurzschlußeingangsleitwert
Y ₁₂	= Kurzschlußübertragungsleitwert rückwärts
Y ₂₁	= Kurzschlußübertragungsleitwert vorwärts
Y ₂₂	= Kurzschlußausgangsleitwert
Y _{21e}	= Steilheit MOS-FET

$\frac{1}{Y_{22}}$	= Kurzschlußausgangswiderstand
Y_a	= Ausgangsleitwert
Y_e	= Eingangsleitwert
Z_{11}	= Leerlaufeingangswiderstand
$\frac{1}{Z_{11}}$	= Leerlaufeingangsleitwert
Z_{22}	= Leerlaufausgangswiderstand
Z_a	= Ausgangswiderstand
Z_e	= Eingangswiderstand

3. Zusammenstellung der in der Vergleichsliste verwendeten Symbole und ihre Definition

In der nachstehenden Zusammenstellung werden alle in der Vergleichsliste verwendeten Symbole definiert. Die zahlenmäßigen Werte dieser Symbole stellen, wenn nicht anders gekennzeichnet, Maximalwerte dar.

Grenzwerte von Spannungen

U_{CEO} = Kollektor-Emitterschaltung

Die höchste dauernd zulässige Spannung zwischen Kollektor und Emitter bei offener Basis. Der Kollektortübergang ist dabei in Sperrichtung gepolt.

U_{CBO} = Kollektor-Basisspannung

Die höchste dauernd zulässige Spannung zwischen Kollektor und Basis bei offenem Emitter. Der Kollektortübergang ist dabei in Sperrichtung gepolt.

U_{CER} = Kollektor-Emitterspannung

Die höchste dauernd zulässige Spannung zwischen Kollektor und Emitter bei Anschluß eines Widerstandes zwischen der Emitter- und Basiselektrode. Der Kollektortübergang ist dabei in Sperrichtung gepolt.

U_{CES} = Kollektor-Emitterspannung

Die höchste dauernd zulässige Spannung zwischen Kollektor und Emitter bei Kurzschluß zwischen Emitter- und Basiselektrode. Der Kollektortübergang ist dabei in Sperrichtung gepolt.

U_{EBO} = Emitter-Basisspannung

Die höchste dauernd zulässige Spannung zwischen Emitter und Basis bei in Sperrichtung gepoltem Emittiergegenpol.

Restströme

I_{CEO} = Kollektorreststrom

Der bei stromlosem Basisanschluß fließende Kollektorschaltstrom in Emitterschaltung.

I_{CBO}	= Kollektorreststrom Der bei stromlosem Emitteranschluß fließende Kollektorschottersperrstrom.
I_{EBO}	= Emitterreststrom Der bei stromlosem Kollektoranschluß fließende Emittersperrstrom.
I_{CES}	= Kollektor-Kurzschlußreststrom Der bei Kurzschluß zwischen Basis- und Emitterelektrode fließende Kollektorschottersperrstrom.
I_{CER}	= Kollektorreststrom Der bei Anschluß eines Widerstandes zwischen Basis- und Emitterelektrode fließende Kollektorschottersperrstrom.

Grenzwerte von Strömen

I_C	= Kollektorstrom Der höchste zulässige Kollektorgleichstrom.
I_B	= Basisstrom Der höchste zulässige Basisgleichstrom.
I_E	= Emitterstrom Der höchste zulässige Emittergleichstrom.

Frequenzen

f_β	= Grenzfrequenz in Emitterschaltung Betriebsfrequenz, bei der der Stromverstärkungsfaktor β in Emitterschaltung auf das 0,7fache seines Wertes bei 1 kHz abgesunken ist.
f_α	= Grenzfrequenz in Basisschaltung Betriebsfrequenz, bei der der Stromverstärkungsfaktor α in Basisschaltung auf das 0,7fache seines Wertes bei 1 kHz abgesunken ist.
f_T	= Transitfrequenz Betriebsfrequenz, bei der der Betrag des Stromverstärkungsfaktors β in Emitterschaltung gleich 1 geworden ist.

Leistungen

P_c	= Kollektorverlustleistung Die maximal zulässige Kollektorverlustleistung zwischen Kollektor- und Basisanschluß.
-------	---

P_{tot}	= Kollektor- plus Emitterverlustleistung Die maximal zulässige Verlustleistung zwischen Emitter- und Basisanschluß zuzüglich der Kollektorverlustleistung P_c .
P_{VL}	= Gesamtverlustleistung Die Gesamtverlustleistung ist der höchste dauernde Wert der gesamten im Transistor in Wärme umgesetzten elektrischen Leistung bei definierten Bedingungen. Die Verlustleistung setzt sich aus Emitter- und Kollektorverlustleistung zusammen.

Thermische Symbole

ϑ_U	= Umgebungstemperatur in °C
ϑ_a	= Umgebungstemperatur in °C
ϑ_c	= Gehäusetemperatur in °C
T_G	= Gehäusetemperatur in °C
t_{amb}	= Umgebungstemperatur in °C
T_U	= Umgebungstemperatur in °C
t_{case}	= Gehäusetemperatur in °C

Sonstige Symbole

β	= dynamische Stromverstärkung in Emitterschaltung
α	= dynamische Stromverstärkung in Basisschaltung
B	= statische Stromverstärkung
G_p	= Leistungsverstärkung
V_u	= Spannungsverstärkung
F	= Rauschfaktor

4. Typenübersicht der Vergleichsliste

npn-Siliziumtransistor für rauscharme Eingangsstufen von NF-Verstärkern sowie NF-Vor- und Treiberstufen

Typ	Seite	Typ	Seite
SC 112	32	BC 309	39
SC 207	32	BC 238	39
BC 109	39	BC 239	39
BC 149	39	BC 109	39
BCY 56	39	2 N 929	34
BCY 57	40	2 N 930	34
BCW 49	40	2 N 2483	40
BSY 24	34	2 N 2484	40
BSY 72	34	KC 509	32
BC 107	34	KC 149	33
BC 108	35	BC 109	33
BC 109	36	2 N 929	34
BC 129	36	2 N 930	34
BC 130	36	BC 107	34
BC 131	36	BC 108	35
BC 147	36	BC 109	35/36
BC 148	37	BC 171	35
BC 149	36	BC 172	35
BC 157	37	BC 173	35
BC 158	37	BC 107	41
BC 159	37	BC 108	41
BC 167	37	BC 147	41
BC 168	37	BC 148	41
BC 169	37	2 SC 650	33
BC 177	38	BC 157	41
BC 178	38	BC 177	41
BC 197	38	BC 158	41
BC 198	38	BC 179	41
BC 199	38	BC 107	41
BC 178	41	BC 108	41
BC 159	41	BC 109	39
BC 237	39	SC 239	32

Typ	Seite	Typ	Seite
npn-Siliziumtransistor für NF-Vor- und Treiberstufen			
SC 110	42	BC 108	48
SC 111	42	BC 110	47
SC 206	42	BCY 59	47
BC 107	48	BCY 79	47
BC 108	45	BFY 69	47
BC 147	48	BFY 69A	47
BC 148	48	MP 111	43
BC 112	49	MP 111A	44
BC 146	49	MP 112	44
BCW 46	49	MP 113	44
BCW 47	49	MP 114	44
BCW 48	49	MP 115	44
BFY 22	45	MP 116	44
BFY 23	45	BCY 58	46
BFY 23a	46	BCY 59	46
BFY 29	46	KC 507	43
BFY 30	46	KC 508	43
BC 155	47	KC 147	43
BC 156	47	KC 148	43
BC 107	47	2 SC 458	45
BC 307	48	2 SC 471	45
BC 308	48	BC 527	43
SC 237	42	BC 528	43
SC 238	42	npn-Siliziumtransistor für Breitband-, NF-, HF- sowie mittelschnelle Schaltstufen	
SC 236	42	SF 021	50
		SF 022	50
		SF 023	50
		SF 024	50
		SF 025	50
		SF 121	51
		SF 122	51
		SF 123	51
		SF 126	51
		BFY 50	56
		BFY 51	56
		BFY 52	56
		BFY 55	56
		2 N 2297	56
		BFY 67	56
		2 N 1613	56
		BFY 68	57
		2 N 1711	57

Typ	Seite	Typ	Seite	Typ	Seite	Typ	Seite
SF 127	51	BFY 67A	57	2 N 2219A	68	2 N 1613	63
SF 128	51	BFY 67C	57	2 N 2221	69	BSY 54	63
SF 129	51	BFY 68A	57	2 N 2222	69	2 N 1711	63
BCY 58	55	BSW 65	57	2 N 2221A	69	BSY 55	63
BCY 59	56	BSW 66	57	2 N 2222A	69	2 N 1893	63
BSW 67	57	BSX 25	55	BSW 33	69	BSY 56	63
BSW 68	58	BSY 92	55	BSX 68	69	BSY 73	63
BSX 95	58	BSY 93	55	BSY 74	60	BSY 88	65
BSX 96	58	KFY 34	52	BSY 75	63	2 N 1890	65
BSV 64	58	BFY 34	53	BSY 76	64	BSY 90	65
BSY 44	54	BFY 33	53	BSY 77	64	BSY 55	66
2 N 1613	54	BFY 34	53	BSY 78	64	BSY 56	66
BSY 45	54	BFY 46	53	BSY 80	64	BFY 12	66
2 N 1893	54	BFY 33	53	BSY 81	64	BFY 13	66
BSY 46	54	BFY 46	52	BSY 82	64	BFY 14	66
2 N 2193	54	KT 602 A	52	BSY 83	65	KT 312A	60
BC 140	54	KT 602B	52	NSY 84	65	KT 312B	61
BSY 71	55	KT 602W	52	BSY 85	65	KT 312W	61
2 N 1711	55	KT 602G	53	2 N 2193A	65	KT 315A	61
BSY 91	55	KFY 46	52	BSY 86	65	KT 315B	61
BC 140	55			BSY 87	65	KT 315W	61
npn-Siliziumtransistor für NF- und HF- sowie schnelle Schaltstufen				2 N 1889	65	KT 315G	61
SF 131	60	BSX 69	69	BF 520	60		
SF 132	60	BSY 19	68	BF 521	60		
BSW 51	67	2 N 708	68	pnp-Siliziumtransistor für NF-Vor- und Treiberstufen sowie für Sonderzwecke			
BSW 52	67	BSY 20	62	SC 100	70	BCY 38	83
BSW 53	67	2 N 706B	62	SC 103	70	BCY 39	83
BSW 54	67	BSY 21	62	SC 104	70	BCY 40	83
BSW 61	67	2 N 914	62	SC 106	70	BCY 54	84
BSW 62	67	BSY 22	62	SC 107	70	BCY 70	84
BSW 63	67	2 N 916	62	SC 108	71	BCY 71	84
BSW 64	68	BSY 23	62	SC 109	71	BCY 72	84
BSY 19	61	BSY 51	62	SS 101	71	BCY 78	84
2 N 708	68	2 N 697	62	SS 102	71	BCY 79	84
2 N 2218	68	BSY 52	62	BC 157	81	2 N 2904	85
2 N 2219	68	2 N 1420	62	BC 158	81	2 N 2905	85
2 N 2218A	68	BSY 53	63	BC 159	82	2 N 2904A	85

Typ	Seite	Typ	Seite	Typ	Seite	Typ	Seite	
BC 177	82	2 N 2905A	85	BC 192	76	BCZ 10	87	
BC 178	82	2 N 2906	85	BSW 72	76	BCZ 11	87	
BC 179	82	2 N 2907	85	BSW 73	76	BCZ 12	87	
BC 200	82	2 N 2906A	85	BSW 74	76	2 SC 281	79	
BCY 30	82	2 N 2907A	86			2 SC 283	79	
BCY 31	83	BCW 56	86					
BCY 32	83	BCW 57	86	npn-Siliziumtransistor für HF-Verstärker und allgemeine Anwendung				
BCY 33	83	BCW 58	86					
BCY 34	83	BCW 59	86					
OC 430	71	BSW 75	76	SF 136	88	BF 115	100	
OC 430 k	71	2 N 2906	77	SF 137	88	BF 184	92	
OC 440	71	2 N 2906A	77	BF 185	93	BSX 81	97	
OC 440k	72	2 N 2907	77	BF 194	93	BSW 88	97	
OC 443	72	2 N 2907A	77	BF 195	93	BSY 19	91	
OC 443k	72	BC 360-6	77	BF 254	93	2 N 708	91	
OC 445	72	BC 360-10	77	BSY 19	98	BSY 21	91	
OC 445k	72	BC 360-16	77	2 N 708	98	2 N 914	91	
OC 449	72	BC 361-6	78	BSY 21	98	BSY 70	98	
OC 449k	73	BC 361-10	78	2 N 914	98	2 N 706	98	
OC 450	73	BSX 40	78	BF 115	92	2 N 2218	99	
OC 450k	73	BSX 41	78	BC 194	92	2 N 2219	99	
OC 460	73	2 N 2904	78	BF 184	90	2 N 2221	99	
OC 460k	73	2 N 2904A	78	BF 185	90	2 N 2222	99	
OC 463	73	2 N 2905	79	BF 194	101	BSY 34	91	
OC 463k	73	2 N 2905A	79	BF 254	101	BSY 58	91	
OC 465	74	BC 157	79	BF 195	101	SF 215	88	
OC 465k	74	BC 158	79	BF 255	94/101	SF 216	88	
OC 466	74	BC 159	79	BF 229	94	BF 184	100	
OC 466k	74	BC 177	80	BF 230	94	BF 185	101	
OC 467	74	BC 178	80	BFY 27	95	BSY 34	100	
OC 467k	74	BC 179	80	2 N 915	95	BSY 58	100	
OC 468	75	BCY 79	80	BSW 10	95	KT 326A	89	
OC 468k	75	BCY 17	80	BSW 12	95	KT 326B	89	
OC 469	75	BCY 18	80	BSW 19	95	KT 603A	89	
OC 469k	75	BCY 19	81	BSX 38	96	KT 603B	89	
OC 470	75	BCY 20	81	BSX 53	96	KT 603G	89	
OC 470k	75	BCY 27	81	BSX 54	96	KT 603W	89	
OC 480	75	BCY 28	81	BSX 72	96	KT 603D	89	
OC 480k	76	BCY 29	81			KT 603E	70	

Typ	Seite	Typ	Seite	Typ	Seite	Typ	Seite
BSX 75	97	KT 312B	90	npn-Siliziumtransistor zum Einsatz in Datenverarbeitungsanlagen, digitale Anwendung und logische Schaltungen		SS 218	114
BSX 80	97	KT 312W	90	SS 106	112	SS 219	114
npn-Siliziumtransistor zum Einsatz in geregelten FS-ZF-Verstärkerstufen in Emitterschaltung				SS 108	112	BSX 19	115
SF 240	102	BF 196	103	SS 120	113	2 N 2368	115
BF 167	102/103	BF 198	103	SS 125	113	BSX 20	115
BF 196	103	BF 127	102	SS 126	113	2 N 2369	115
BF 167	103	BF 167	102	SS 216	113	BSX 12	115
BF 311	103	BF 199	105	BSX 12A	116	BSY 18	114
npn-Siliziumtransistor zum Einsatz in nicht geregelten FS-ZF-Verstärkerstufen in Emitterschaltung				BSX 59	116	BSY 62	115
SF 245	104	BF 223	105	BSX 60	116	BSY 63	115
BF 173	104	BF 123	104	BSX 61	117	2 SC 468	114
BF 197	105	BF 173	104	npn-Siliziumtransistor für HF-Verstärker und Oszillatoren bis 100 MHz			
BF 173	105	BF 173	105	SF 215	118	BF 255	119
BF 197	105	BFY 43	107	SF 216	118	BF 310	119
npn-Siliziumtransistor zum Einsatz in Videoendstufen				BF 214	118	2 SC 460	118
SF 150	106	BF 110	108	BF 215	118	2 SC 461	118
BF 177	109	BF 177	108	BF 185	118	2 SC 535	119
BFY 78	109	BF 178	109	BF 195	118	npn-Siliziumtransistor für HF-Verstärker und Oszillatoren bis 260 MHz	
BFY 79	109	KF 503	106	SF 235	120	SE 5020	120
BD 115	109	KF 504	106	SE 3001	120	SE 5021	120
BF 114	108	2 SC 154C	107				
BF 177	107	2 SC 65	108				
BF 178	107	2 SC 66	108				
KT 601A	106						
BF 117	107						
2 SC 154A	107						
2 SC 154B	107						
npn-Siliziumtransistor zur Ansteuerung von Ziffernanzeigeröhren							
SS 200	110	BF 228	111				
SS 201	110	BFY 65	111				
SS 202	110	BFY 80	111				
BSX 21	111	BFY 45	111				
BSW 69	111	BSY 79	110				

5. Mathematische Zusammenhänge

5.1. Bedeutung der Vierpolparameter

Die Vierpolparameter beschreiben das dynamische Verhalten eines Transistors in einem bestimmten Arbeitspunkt. Wobei die Ansteuerung des Transistors mit kleinen Signalen vorausgesetzt wird. In Abhängigkeit von der Grundschaltung weisen die Parameter dabei unterschiedliche Werte auf, deren Kenntnis für die Einsatzmöglichkeiten eines bestimmten Typs erforderlich sind. Bei niedrigen Frequenzen werden meist die reellen Vierpolkoeffizienten, die h-Parameter, verwendet. Bei höheren Frequenzen wird mit den Y-Parametern gearbeitet. Für die h-Parameter gelten die Beziehungen:

$$h_{r1} = \frac{u_1}{i_1} \text{ Eingangswiderstand bei kurzgeschlossenem Ausgang}$$

$$h_{12} = \frac{u_1}{u_2} \text{ Spannungsrückwirkung bei offenem Eingang}$$

$$h_{21} = \frac{i_2}{i_1} \text{ Stromverstärkungsfaktor bei kurzgeschlossenem Ausgang}$$

$$h_{22} = \frac{i_2}{u_2} \text{ Ausgangsleitwert bei offenem Eingang}$$

Die Parameter können dem Kennlinienfeld des Transistors als die Neigung der Kennlinien in einem festen Arbeitspunkt entnommen werden.

Somit gilt:

$$h_{11e} = \frac{\Delta U_{BE}}{\Delta I_B} \triangleq \tan \varphi, \quad h_{21e} = \frac{\Delta I_C}{\Delta I_B} \triangleq \tan \varphi$$

$$h_{21e} = \frac{\Delta U_{BE}}{\Delta U_{CE}} \triangleq \tan \delta, \quad h_{22e} = \frac{\Delta I_C}{\Delta U_{CE}} \triangleq \tan \tau$$

und für die Y-Parameter:

$$Y_{11} = \frac{i_1}{u_1} \text{ Eingangsleitwert bei kurzgeschlossenem Ausgang}$$

$$Y_{12} = \frac{i_1}{u_2} \text{ Rückleitwert bei kurzgeschlossenem Eingang}$$

$$Y_{21} = \frac{i_2}{u_1} \text{ Steilheit bei kurzgeschlossenem Ausgang}$$

$$Y_{22} = \frac{i_2}{u_2} \text{ Ausgangsleitwert bei kurzgeschlossenem Eingang}$$

5.2. Berechnung der h-Parameter für die Emitter- und Kollektorschaltung aus den Werten der Basischaltung

Emitterschaltung:

$$h_{11e} = \frac{h_{11b}}{1 + h_{21b} - h_{12b} + \Delta h_b} \approx \frac{h_{11b}}{1 + h_{21b}}$$

$$h_{12e} = \frac{\Delta h_b - h_{12b}}{1 + h_{21b} - h_{12b} + \Delta h_b} \approx \frac{\Delta h_b - h_{12b}}{1 + h_{21b}}$$

$$h_{21e} = \frac{-h_{21b} - \Delta h_b}{1 + h_{21b} - h_{12b} + \Delta h_b} \approx \frac{-h_{21b}}{1 + h_{21b}}$$

$$h_{22e} = \frac{h_{22b}}{1 + h_{21b} - h_{12b} + \Delta h_b} \approx \frac{h_{22b}}{1 + h_{21b}}$$

Kollektorschaltung:

$$h_{11c} = \frac{h_{11b}}{1 + h_{21b} - h_{12b} + \Delta h_b} \approx \frac{h_{11b}}{1 + h_{21b}}$$

$$h_{12c} = \frac{1 + h_{21b}}{1 + h_{21b} - h_{12b} + \Delta h_b} \approx 1$$

$$h_{21c} = \frac{h_{12b} - 1}{1 + h_{21b} - h_{12b} + \Delta h_b} \approx \frac{-1}{1 + h_{21b}}$$

$$h_{22c} = \frac{h_{22b}}{1 + h_{21b} - h_{12b} + \Delta h_b} \approx \frac{h_{22b}}{1 + h_{21b}}$$

Darin ist:

$$\Delta h_b = h_{11b} \cdot h_{22b} - h_{12b} \cdot h_{21b}$$

5.3. Berechnung der h-Parameter für die Basis- und Kollektorschaltung aus den Werten der Emitterschaltung

Basisschaltung:

$$h_{11b} = \frac{h_{11e}}{1 + h_{21e} - h_{12e} + \Delta h_e} \approx \frac{h_{11e}}{1 + h_{21e}}$$

$$h_{12b} = \frac{\Delta h_e - h_{12e}}{1 + h_{21e} - h_{12e} + \Delta h_e} \approx \frac{\Delta h_e - h_{12e}}{1 + h_{21e}}$$

$$h_{21b} = \frac{-h_{21e} - \Delta h_e}{1 + h_{21e} - h_{12e} + \Delta h_e} \approx \frac{-h_{21e}}{1 + h_{21e}}$$

$$h_{22b} = \frac{h_{22e}}{1 + h_{21e} - h_{12e} + \Delta h_e} \approx \frac{h_{22e}}{1 + h_{21e}}$$

Darin ist:

$$\Delta h_e = h_{11e} \cdot h_{22e} - h_{12e} \cdot h_{21e}$$

Kollektorschaltung:

$$h_{11e} = h_{11e}$$

$$h_{21e} = -(1 + h_{21e})$$

$$h_{22e} = h_{22e}$$

$$h_{12e} = 1 - h_{12e} \approx 1$$

5.4. Berechnung der h-Parameter für die Basis- und Emitterschaltung aus den Werten der Kollektorschaltung

Basisschaltung:

$$h_{11b} = \frac{h_{11e}}{\Delta h_e}$$

$$h_{12b} = \frac{h_{21e} + \Delta h_e}{\Delta h_e}$$

$$h_{21b} = \frac{h_{12e} - \Delta h_e}{\Delta h_e}$$

$$h_{22b} = \frac{h_{22e}}{\Delta h_e}$$

Emitterschaltung:

$$h_{11e} = h_{11c}$$

$$h_{12e} = 1 - h_{12c}$$

$$h_{21e} = -(1 + h_{21c})$$

$$h_{22e} = h_{22c}$$

Darin ist:

$$\Delta h_e = h_{11c} \cdot h_{22c} - h_{12c} \cdot h_{21c}$$

5.5. Berechnung der Y-Parameter der Basisschaltung aus den Parametern der Emitterschaltung

$$Y_{11b} = Y_{11e} + Y_{12e} \pm Y_{21e} + Y_{22e}$$

$$Y_{12b} = -(Y_{12e} + Y_{22e})$$

$$Y_{21b} = -(Y_{21e} + Y_{22e})$$

$$Y_{22b} = Y_{22e}$$

5.6. Berechnung der Y-Parameter der Emitterschaltung aus den Parametern der Basisschaltung

$$Y_{11e} = Y_{11b} + Y_{12b} + Y_{21b} + Y_{22b}$$

$$Y_{12e} = -(Y_{12b} + Y_{22b})$$

$$Y_{21e} = -(Y_{21b} + Y_{22b})$$

$$Y_{22e} = Y_{22b}$$

5.7. Zusammenhang zwischen den h- und Y-Parametern

$$h_{11} = \frac{1}{Y_{11}}$$

$$h_{12} = \frac{-Y_{12}}{Y_{11}}$$

$$h_{21} = \frac{Y_{21}}{Y_{11}}$$

$$h_{22} = \frac{\Delta Y}{Y_{11}}$$

Darin ist:

$$\Delta Y = Y_{11} \cdot Y_{12} \cdot Y_{21} \cdot Y_{22}$$

$$Y_{11} = \frac{1}{h_{11}}$$

$$Y_{12} = \frac{-h_{12}}{h_{11}}$$

$$Y_{21} = \frac{h_{21}}{h_{11}}$$

$$Y_{22} = \frac{\Delta h}{h_{11}}$$

Darin ist:

$$\Delta h = h_{11} \cdot h_{22} - h_{12} \cdot h_{21}$$

5.8. Berechnung von Betriebsgrößen

Stromverstärkung

$$V_i = \frac{i_2}{i_1} = \frac{h_{21}}{1 + h_{22} \cdot R_L}$$

Spannungsverstärkung

$$V_u = \frac{u_2}{u_1} = \frac{-h_{21} \cdot R_L}{h_{11} + R_L \cdot \Delta h}$$

$$\text{mit } \Delta h = h_{11} \cdot h_{22} - h_{12} \cdot h_{21}$$

Eingangswiderstand

$$Z_e = \frac{u_1}{i_1} = \frac{h_{11} + R_L}{1 + R_L \cdot h_{22}}$$

Ausgangswiderstand

$$Z_a = \frac{u_2}{i_2} = \frac{h_{11} + R_g}{\Delta h + R_g \cdot h_{22}}$$

Leistungsverstärkung

$$V_p = \frac{h_{21}^2 \cdot R_L}{(1 + h_{22} - R_L)(h_{11} + R_L \cdot \Delta h)}$$

Das Verhältnis der im Lastwiderstand verbrauchten Leistung zur maximal verfügbaren Leistung der Spannungsquelle U_0 wird als maximal erreichbare Leistungsverstärkung bei beliebigem Lastwiderstand definiert.

Der Leistungsverbrauch im Lastwiderstand ergibt sich zu

$$P = i_2^2 \cdot R_L$$

Die Spannungsquelle liefert maximal die Leistung:

$$P_0 = \frac{U_0^2}{4 \cdot R_g}$$

Somit wird

$$V_{p \max} = \frac{P}{P_0} = \frac{i_2^2 \cdot R_L \cdot 4 R_g}{U_0^2} = 4 R_g \cdot R_L \frac{(i_2)^2}{U_0}$$

$$V_{p \max} = \frac{4 R_L \cdot R_g \cdot h_{21}^2}{[h_{11} + R_L \cdot \Delta h + R_g(1 + h_{22} \cdot R_L)]^2}$$

Bei Anpassung, also $R_g = Z_e$ bzw. $R_L = Z_a$ wird

$$V_{p1} = \frac{h_{21}^2 \cdot R_L}{(1 + R_L \cdot h_{22})(h_{11} + R_L \cdot \Delta h)}$$

$$V_{p2} = \frac{h_{21}^2 \cdot R_g}{(h_{11} + R_g)(\Delta h + h_{22} \cdot R_g)}$$

Bei $Z_e = R_g$ und $Z_a = R_L$ liegt optimale Anpassung vor, dann gilt

$$Z_e = R_g = \frac{h_{11} + R_L \cdot \Delta h}{1 + R_L \cdot h_{22}}$$

$$Z_a = R_L = \frac{h_{11} + R_g}{\Delta h + R_g \cdot h_{22}}$$

$$R_{g \text{ opt}} = \sqrt{\frac{h_{11} \cdot \Delta h}{h_{22}}}$$

$$R_{L \text{ opt}} = \sqrt{\frac{h_{11}}{h_{22} \cdot \Delta h}}$$

Darin ist:

$$R_{g\text{ opt}} \cdot R_{L\text{ opt}} = \frac{h_{11}}{h_{22}}$$

Optimale Leistungsverstärkung

$$V_{P\text{ opt}} = \left(\frac{h_{21}}{\sqrt{\Delta h} + \sqrt{h_{11} \cdot h_{22}}} \right)^2$$

Bei Verwendung der Y-Parameter gelten nachstehende Beziehungen:

Stromverstärkung

$$V_i = \frac{i_2}{i_1} = \frac{Y_{21}}{Y_{11} + \Delta Y \cdot R_L}$$

Spannungsverstärkung

$$V_u = \frac{u_2}{i_2} = \frac{Y_{21}}{Y_{11} + \Delta Y \cdot R_L}$$

Eingangswiderstand

$$Z_e = \frac{u_1}{i_1} = \frac{1 + Y_{22} \cdot R_L}{Y_{11} + \Delta Y \cdot R_L}$$

Ausgangswiderstand

$$Z_a = \frac{u_2}{i_2} = \frac{1 + Y_{11} \cdot R_g}{Y_{22} + \Delta Y \cdot R_g}$$

Leistungsverstärkung

$$V_P = V_u \cdot V_i = \frac{|Y_{21}|^2 \cdot R_L}{(1 + Y_{22} \cdot R_L) (Y_{11} + \Delta Y \cdot R_L)}$$

Maximale Leistungsverstärkung

$$V_{P\text{ max}} = \frac{4 |Y_{21}|^2 \cdot R_g \cdot R_L}{[Y_{11} + \Delta Y \cdot R_L + R_g (1 + Y_{22} \cdot R_L)]}$$

Optimale Leistungsverstärkung

$$V_{P\text{ opt}} = \left(\frac{Y_{21}}{\sqrt{\Delta Y} + \sqrt{Y_{11} \cdot Y_{22}}} \right)^2$$

Es ist:

$$R_{g\text{ opt}} = \sqrt{\frac{Y_{22}}{Y_{11} \cdot \Delta Y}}$$

$$R_{L\text{ opt}} = \sqrt{\frac{Y_{11}}{Y_{22} \cdot \Delta Y}}$$

Zusammenhänge der Grenzfrequenzen

Näherungen zur Umrechnung der Grenzfrequenzen von der Basis- schaltung in die Emitterschaltung

$$f_{h\ 21e} \approx \frac{f_{h\ 21b}}{h_{21e}}$$

Übergangsfrequenz

$$f_{h\ 21b} \approx 1,2 f_T$$

6. Transistorvergleichsliste

6.1. npn-Siliziumtransistor für rauscharme Eingangsstufen von NF-Verstärkern sowie NF-Vor- und Treiberstufen

Typ	f_β (f_α) „ f_T “ in MHz	F in dB	Restströme			Grenzwerte				β (B)	Verlust- leistung in mW	Bauform Art Bemerkungen
			J_{CBO}	J_{CEO}	J_{EBO}	J_C in mA	J_B in mA	U_{CEO} in V	U_{EBO} in V			
RFT												
SC 112	„60“	5	0,015 (15)	—	—	100	—	20	5	20	(57... 226)	$P_{tot} = 600$ bei $\theta_a = 25^\circ C$
SC 207	„300“	5...8 ...0,1 (20)	0,001 0,1	— max. 0,1	— 100 10	100	10	15	5	20	(28... 1120)	$P_{tot} = 200$ bei $\theta_a = 25^\circ C$
SC 239	4	0,1(30)	—	—	—	100	—	20	5	30	112... 1120	$P_{tot} = 200$ Kunststoffgehäuse
ČSSR												
KC 509	4	0,015 (20)	—	—	1	100	15	20	5	20	240... 900	$P_{tot} = 300$ bei $T_i = 175^\circ C$
KC 149	4	0,015 (20)	—	—	1	100	10	20	5	20	240... 900	$P_{tot} = 200$ bei $T_a = 25^\circ C$
Rumänien												
BC 107	„300“	2	0,0002 (45)	—	—	100	—	45	5	45	(90... 300)	$P_{tot} = 300$ Planar-Epitaxial
BC 108	„300“	2	0,0002 (20)	—	—	100	—	20	5	20	(90... 500)	$P_{tot} = 300$ Metallgehäuse
BC 109	„300“	4	0,0002 (20)	—	—	100	—	20	5	20	(150... 500)	$P_{tot} = 300$ Planar-Epitaxial
Ungarn												
BC 109	„300“	4	—	—	—	100	50	20	5	4	240... 900	$P_{tot} = 300$ bei $T_u = 25^\circ C$
Hitachi												
2 SC 650	„220“	0,1(20)	—	—	—	30	—	25	6	30	—	$P_c = 200$ Epitaxial
												Metallgehäuse

6. Transistorvergleichsliste

6.1. npn-Siliziumtransistor für rauscharme Eingangsstufen von NF-Verstärkern sowie NF-Vor- und Treiberstufen

Typ	f_β (f_α) in MHz	F in dB	Restströme			Grenzwerte				β (B)	Verlust- leistung in mW	Bauform Art Bemerkungen
			J_{CBO}	J_{CEO}	J_{EBO}	J_C in mA	J_B in mA	U_{CEO} in V	U_{EBO} in V			
RFT												
SC 112	„60“	5	0,015 (15)	—	—	100	—	20	5	20	(57... 226)	$P_{tot} = 600$ bei $\vartheta_a = 25^\circ C$
SC 207	„300“	5...8	0,001...0,1 (20)	—	max. 0,1	100	10	15	5	20	(28... 1120)	$P_{tot} = 200$ bei $\vartheta_a = 25^\circ C$
SC 239	4	0,1(30)	—	—	—	100	—	20	5	30	112... 1120	$P_{tot} = 200$ Kunststoffgehäuse
ČSSR												
KC 509	4	0,015 (20)	—	—	1	100	15	20	5	20	240... 900	$P_{tot} = 300$ bei $T_i = 175^\circ C$
KC 149	4	0,015 (20)	—	—	1	100	10	20	5	20	240... 900	$P_{tot} = 200$ bei $\vartheta_a = 25^\circ C$
Rumänien												
BC 107	„300“	2	0,0002 (45)	—	—	100	—	45	5	45	(90... 300)	$P_{tot} = 300$ Planar-Epitaxial
BC 108	„300“	2	0,0002 (20)	—	—	100	—	20	5	20	(90... 500)	$P_{tot} = 300$ Metallgehäuse
BC 109	„300“	4	0,0002 (20)	—	—	100	—	20	5	20	(150... 500)	$P_{tot} = 300$ Planar-Epitaxial
BC 109	„300“	4	—	—	—	100	50	20	5	4	240... 900	$P_{tot} = 300$ bei $T_u = 25^\circ C$
Ungarn												
BC 109	„300“	4	—	—	—	100	—	25	6	30	—	$P_c = 200$
Hitachi												
2 SC 650	„220“	0,1(20)	—	—	—	30	—	25	6	30	—	Epitaxial Metallgehäuse

Typ	f_θ (f_x)	F in "fT" MHz	β	Restströme JCBO	JCEO	JEBO	JC	JB	UCEO	UEBO	UCBO	Grenzwerte in mA	in V	(B)	Verlust- leistung	Bauform
															Art	Bemerkungen
Intermetall																
BFY 24	20	5	0,015	0,020	—	50	—	5	3	5	45...	$P_{\text{tot}} = 50$	4	Planar-Epitaxial		
		(2)	(2)													Kunststoffgehäuse
BSV 72	„170“	5	0,1(20)	..	0,1(4)	30	—	18	5	25	150	$P_{\text{tot}} = 230$	1	Planar-Epitaxial		
																$T_G = 25^\circ\text{C}$ Metallgehäuse
2 N 929	„30“	4	0,01	0,002	0,01	30	—	45	5	45	(40... (120))	$P_{\text{tot}} = 600$	1	Planar		
		(45)	(5)	(5)	(5)											
2 N 930	„30“	3	0,01	0,002	0,01	30	—	45	5	45	(100... (300))	$P_{\text{tot}} = 600$	1	Planar		
		(45)	(5)	(5)	(5)											$T_G = 25^\circ\text{C}$ Metallgehäuse
BC 107	„300“	2	0,0002	—	—	100	—	45	5	45	(90... (300))	$P_{\text{tot}} = 300$	1	Planar-Epitaxial		
			(45)													Metallgehäuse
BC 108	„300“	2	0,0002	—	—	100	—	20	5	20	(90... (500))	$P_{\text{tot}} = 300$	1	Planar-Epitaxial		
																Metallgehäuse
BC 109	„300“	4	0,0002	—	—	100	—	20	5	20	(150... (500))	$P_{\text{tot}} = 300$	1	Planar-Epitaxial		
		(20)														Metallgehäuse
BC 171	„300“	2	0,0002	—	—	100	—	45	5	45	125... (500)	$P_{\text{tot}} = 200$	22	Planar-Epitaxial		
		(45)														Kunststoffgehäuse
BC 172	„300“	2	0,0002	—	—	100	—	20	5	20	125... (900)	$P_{\text{tot}} = 200$	22	Planar-Epitaxial		
		(20)														Kunststoffgehäuse
BC 173	„300“	4	0,0002	—	—	100	—	20	5	20	240... (900)	$P_{\text{tot}} = 200$	22	Planar-Epitaxial		
		(20)														Kunststoffgehäuse
Telefunken																
BC 107	„300“	3	—	—	—	100	—	45	6	50	125... (500)	$P_{\text{tot}} = 300$	1	Planar-Epitaxial		
																Metallgehäuse
BC 108	„300“	3	—	—	—	100	—	20	5	30	125... (900)	$P_{\text{tot}} = 300$	1	Planar-Epitaxial		
																Metallgehäuse

gg	Typ	f_θ (f_α)	F	Grenzwerte								β	Verlust- leistung	Baum- form	
				"f _T " in MHz	in dB	in μA	JCBO	JCEO	JEBO	JC	JB	UCEO	UEBO	UCBO	in mA
BC 109	"300"	3	-	-	-	-	100	-	20	5	30	240...	$P_{tot} = 300$	1	Planar-Epitaxial
BC 129	"300"	3	-	-	-	-	100	-	45	6	50	125...	$P_{tot} = 135$	1	Metallgehäuse
BC 130	"300"	3	-	-	-	-	100	-	20	5	30	125...	$P_{tot} = 135$	1	Planar-Epitaxial
BC 131	"300"	3	-	-	-	-	100	-	20	5	30	240...	$P_{tot} = 135$	1	Metallgehäuse
BC 147	"300"	3	-	-	-	-	100	-	45	6	50	125...	$P_{tot} = 220$	5	Planar-Epitaxial
BC 149	"300"	3	-	-	-	-	100	-	20	5	30	240...	$P_{tot} = 220$	5	Kunststoffgehäuse
BC 148	"300"	3	-	-	-	-	100	-	20	5	30	125...	$P_{tot} = 220$	5	Planar-Epitaxial
BC 157	"130"	3	-	-	-	-	100	-	45	5	50	75...	$P_{tot} = 220$	5	Kunststoffgehäuse
BC 158	"130"	3	-	-	-	-	100	-	25	5	30	75...	$P_{tot} = 220$	5	Planar-Epitaxial
BC 159	"130"	3	-	-	-	-	100	-	20	5	30	125...	$P_{tot} = 220$	5	Kunststoffgehäuse
BC 167	"300"	3	-	-	-	-	100	-	45	6	50	125...	$P_{tot} = 220$	6	Planar-Epitaxial
BC 168	"300"	3	-	-	-	-	100	-	20	5	30	125...	$P_{tot} = 220$	6	Kunststoffgehäuse
BC 169	"300"	3	-	-	-	-	100	-	20	5	30	240...	$P_{tot} = 220$	6	Planar-Epitaxial
							900								Kunststoffgehäuse

Typ	f_β (f_α) „f _T “ in MHz	F dB	Reströme			Grenzwerte				β (B)	Verlust leistung in mW	Bauform Art Bemerkungen	
			J _{CBO}	J _{CEO}	J _{EBO}	J _C in mA	J _B in V	U _{CEO}	U _{EBO}				
BC 177	„130“	3	—	—	—	100	—	45	5	50	75... 150	$P_{tot} = 300$ bei t_{amb} = 25 °C	1 Planar-Epitaxial Kunststoffgehäuse
BC 178	„130“	3	—	—	—	100	—	25	5	30	75... 260	$P_{tot} = 300$ bei t_{amb} = 25 °C	1 Planar-Epitaxial Kunststoffgehäuse
BC 179	„130“	3	—	—	—	100	—	20	5	25	125... 500	$P_{tot} = 300$ bei t_{amb} = 25 °C	1 Planar-Epitaxial Kunststoffgehäuse
BC 197	„300“	3	—	—	—	100	—	45	6	50	125... 500	$P_{tot} = 50$ bei t_{amb} = 45 °C	7 Planar-Epitaxial Kunststoffgehäuse
BC 198	„300“	3	—	—	—	100	—	20	5	30	125... 900	$P_{tot} = 50$ bei t_{amb} = 45 °C	7 Planar-Epitaxial Kunststoffgehäuse
BC 199	„300“	3	—	—	—	100	—	20	5	30	240... 900	$P_{tot} = 50$ bei t_{amb} = 45 °C	7 Planar-Epitaxial Kunststoffgehäuse
BC 237	„300“	3	—	—	—	100	—	45	6	50	125... 500	$P_{tot} = 220$ bei t_{amb} = 25 °C	6 Planar-Epitaxial Kunststoffgehäuse
BC 238	„300“	3	—	—	—	100	—	20	5	30	125... 900	$P_{tot} = 220$ bei t_{amb} = 25 °C	6 Planar-Epitaxial Kunststoffgehäuse
BC 239	„300“	3	—	—	—	100	—	20	5	30	240... 900	$P_{tot} = 220$ bei t_{amb} = 25 °C	6 Planar-Epitaxial Kunststoffgehäuse
BC 309	„130“	4	100 nA	—	—	200	—	20	5	25	(140... 290)	$P_{tot} = 200$	22 Planar-Epitaxial
Valvo													
BC 109	„300“	2	15(20)	—	—	100	20	50	6	50	(125... 260)	$P_{tot} = 300$	1 Planar-Epitaxial Metallgehäuse
BC 149	„300“	2	15(20)	—	—	100	20	30	5	30	(450... 900)	$P_{tot} = 250$	1 Planar-Epitaxial Metallgehäuse
BCY 56	„85“	1,5	0,1(20)	—	0,1(5)	100	—	45	5	45	(40... 450)	$P_{tot} = 260$	1 Planar-Epitaxial Metallgehäuse

Typ	f_β (f_α) in MHz	F in dB	Restströme			Grenzwerte				β (B)	Verlust- leistung in mW	Bauform Art Bemerkungen
			J_{CBO}	J_{CEO}	J_{EBO}	J_C in mA	J_B in V	U_{CEO}	U_{EBO}			
BCY 57	„100“	1,5	0,1(20)	—	0,1(5)	100	—	20	5	25	(100... 800)	P _{tot} = 260 1 Planar-Epitaxial Metallgehäuse
BCW 49	„300“	2	10	0,002	0,1	200	—	20	—	30	(450... 900)	P _{tot} = 150 3 Planar-Epitaxial Kunststoffgehäuse
2 N 929	„50“	4	0,01 (45)	0,002 (5)	0,01 (5)	60	—	45	5	45	(40... 120)	260 1 Planar Metallgehäuse
2 N 930	„50“	3	0,01 (45)	0,002 (5)	0,01 (5)	60	—	45	5	45	(100... 300)	260 1 Planar Metallgehäuse
2 N 2483	„60“	4	0,01 (45)	—	0,01 (5)	50	—	60	5	60	(40... 500)	360 1 Planar Metallgehäuse
2 N 2484	„60“	3	0,01 (45)	—	0,01 (5)	50	—	60	5	60	(100... 800)	360 1 Planar Metallgehäuse

BC 107	„300“	2	15(20)	—	—	100	20	45	6	50	125... 500	P _{tot} = 300 1
BC 108	„300“	2	15(20)	—	—	100	20	20	5	30	125... 900	P _{tot} = 300 1
BC 147	„300“	2	15(20)	—	—	100	20	45	6	50	125... 500	P _{tot} = 250 1
BC 148	„300“	2	15(20)	—	—	100	—	20	5	30	125... 900	P _{tot} = 250 1
BC 157	„150“	2	4(20)	—	—	100	—	45	5	50	75... 260	P _{tot} = 250 25 Planar-Epitaxial Kunststoffgehäuse
BC 177	„150“	2	4(20)	—	—	100	—	45	5	50	75... 260	P _{tot} = 300 1 Planar-Epitaxial Metallgehäuse
BC 158	„150“	2	4(20)	—	—	100	—	25	5	30	75... 500	P _{tot} = 250 25 Kunststoffgehäuse
BC 178	„150“	2	10(20)	—	—	100	—	20	5	25	75... 500	P _{tot} = 300 1 Metallgehäuse
BC 159	„150“	1	4(20)	—	—	100	—	20	5	25	125... 500	P _{tot} = 250 25 Kunststoffgehäuse
BC 179	„150“	1	10(20)	—	—	100	—	20	5	25	125... 500	P _{tot} = 300 1 Metallgehäuse

6.2. npn-Siliziumtransistor für NF-Vor- und Treiberstufen

Typ	f_β (f_α) „f _T “ in MHz	F dB	Restströme			Grenzwerte				β (B)	Verlust- leistung in mW	Bauform Art Bemerkungen
			J _{CBO}	J _{CEO}	J _{EBO}	J _C in mA	J _B in V	U _{CEO}	U _{EBO}			
RFT												
SC 110	„40“	—	0,025 (15)	—	—	250	—	20	5	20	(18... 550)	P _{tot} = 600 bei $\vartheta_a = 25^\circ\text{C}$ 1
SC 111	„60“	8	0,025 (15)	—	—	200	—	20	5	30	(18... 550)	P _{tot} = 600 bei $\vartheta_a = 25^\circ\text{C}$ 1
SC 206	„300“	16	0,1 (20)	—	0,1 (5)	100	10	15	5	20	28... 1120	P _{tot} = 200 bei $\vartheta_a = 25^\circ\text{C}$ 2
SC 236			0,1(30)			100		20	5	30	56... 560	P _{tot} = 200 Kunststoffgehäuse 2
SC 237		8	0,1(50)			100		45	5	50	56... 560	P _{tot} = 200 Kunststoffgehäuse 2
SC 238		8	0,1(30)			100		20	5	30	56... 1120	P _{tot} = 200 Kunststoffgehäuse 2
ČSSR												
KC 507	„150“	10	0,015 (45)	—	1(5)	100	15	45	5	45	125... 500	P _c = 300 Planar-Epitaxial 1
KC 508	„150“	10	0,015 (20)	—	1(5)	100	15	20	5	20	125... 500	P _c = 300 Planar-Epitaxial 1
KC 147	„150“	10	0,015 (45)	—	1(5)	100	10	45	5	45	125... 500	P _c = 200 $\vartheta_a = 25^\circ\text{C}$ 13
KC 148	„150“	10	0,015 (20)	—	1(5)	100	10	20	5	20	125... 900	P _c = 200 $\vartheta_a = 25^\circ\text{C}$ 13
Polen												
BC 527	„150“	10	50(45)			50		45	5	45	50... 400	P _c = 300 Planar-Epitaxial 1
BC 528	„150“	10	50(20)			50		20	5	20	40... 400	P _c = 300 Planar-Epitaxial 1
UdSSR												
MP 111	0,5	18	3(10)	—	3(5)	100	—	20	5	20	10... 25	P _{tot} = 150 Legierungstyp Metallgehäuse 10

Typ	f_β ("f _T ") in MHz	F dB	Restströme			Grenzwerte					β (B)	Verlust- leistung in mW	Bauform Bemerkungen Art		
			J _{CBO}	J _{CEO}	J _{EBO}	J _C	J _B	U _{CEO}	U _{EBO}	U _{CBO}					
						in mA		in V							
MP 111A	0,5	18	3(10)	—	3(5)	100	—	10	5	10	10...	P _{tot} = 150	10	Legierungstyp Metallgehäuse	
MP 112	0,5	18	3(10)	—	3(5)	100	—	10	5	10	15...	P _{tot} = 150	10	Legierungstyp Metallgehäuse	
MP 113	1	—	3(5)	—	3(5)	100	—	10	5	10	15...	P _{tot} = 150	10	Legierungstyp Metallgehäuse	
MP 114	(0,1)	—	10(30)	—	10(10)	50	—	60	10	60	9	P _{tot} = 150	10	Legierungstyp Metallgehäuse	
MP 115	(0,1)	—	10(30)	—	10(10)	50	—	30	40	30	9...	P _{tot} = 150	10	Legierungstyp Metallgehäuse	
MP 116	(0,1)	—	10(10)	—	10(10)	50	—	15	20	15	15...	P _{tot} = 150	10	Legierungstyp Metallgehäuse	

Ungarn

BC 107	„250“	10	—	—	—	100	50	45	6	50	125...	P _{tot} = 260	1
BC 108	„250“	10	—	—	—	100	50	20	5	30	125...	P _{tot} = 260	1

Hitachi

2 SC 458	„230“	6,5	0,5(18)	—	—	100	—	30	5	30	(60...	P _c = 200	29
											320)		Planar-Epitaxial
2 SC 471	„230“	13	0,1(20)			100		20	5	30	60...	P _c = 200	32

Intermetall

BFY 22	(20)	7	—	—	—	50	—	5	3	5	30...	P _{tot} = 50	4
											90	bei	Planar-Epitaxial
												$\vartheta_U = 45^\circ C$	Kunststoffgehäuse
BFY 23	(20)	7	—	—	—	50	—	5	3	5	70...	P _{tot} = 50	4
											220	bei	Planar-Epitaxial
												$\vartheta_U = 45^\circ C$	Kunststoffgehäuse

Typ	f_β (f_α) „f_T“ in MHz	F dB	Restströme			Grenzwerte				β (B)	Verlust- leistung in mW	Bauform Art Bemerkungen
			J_{CBO}	J_{CEO}	J_{EBO}	J_C	J_B	U_{CEO}	U_{EBO}			
BFY 23a (20)	7	—	—	—	—	50	—	5	3	5	200... 300	$P_{tot} = 50$ bei $\vartheta_U = 45^\circ C$
												Planar-Epitaxial Kunststoffgehäuse
BFY 29 (20)	7	—	—	—	—	50	—	30	5	45	30... 90	$P_{tot} = 50$ bei $\vartheta_U = 45^\circ C$
												Planar-Epitaxial Kunststoffgehäuse
BFY 30 (20)	7	—	—	—	—	50	—	30	5	45	70... 220	$P_{tot} = 50$ bei $\vartheta_U = 45^\circ C$
												Planar-Epitaxial Kunststoffgehäuse
BCY 58 „300“	2	0,2(32)	—	—	—	200	—	32	7	32	125... 700	$P_{tot} = 390$ bei $T_u = 25^\circ C$
												Planar-Epitaxial Metallgehäuse
BCY 59 „300“	2	0,2(32)	—	—	—	200	—	45	7	45	125... 700	$P_{tot} = 390$ bei $T_u = 25^\circ C$
												Planar-Epitaxial Metallgehäuse

Telefunken

BC 155 „50“	—	0,1(5)	—	—	—	50	—	5	5	5	85... 900	$P_{tot} = 50$ bei $t_{amb} = 45^\circ C$
BC 156 „50“	—	0,1(5)	—	—	—	50	—	5	5	5	85... 900	$P_{tot} = 105$ bei $t_{amb} = 45^\circ C$
BC 110 „100“	—	—	—	—	—	50	—	80	8	80	(70)	$P_{tot} = 300$ bei $t_{amb} = 25^\circ C$
BCY 59 „300“	2	—	—	—	—	200	—	45	7	—	125... 700	$P_{tot} = 1000$ bei $t_{amb} = 25^\circ C$
BCY 79 „200“	6	—	—	—	—	200	—	45	5	—	125... 500	$P_{tot} = 300$ bei $t_{amb} = 45^\circ C$
BFY 69 „50“	—	0,1(25)	—	—	—	10	—	15	5	25	(50)	$P_{tot} = 160$ bei $t_{amb} = 45^\circ C$
BFY 69A „50“	—	0,1(25)	—	—	—	10	—	15	5	25	(50)	$P_{tot} = 160$ bei $t_{amb} = 45^\circ C$

Typ	f_β (f_α) in MHz	F dB	Restströme			Grenzwerte				β (B)	Verlust- leistung in mW	Bauform Art Bemerkungen
			J_{CBO}	J_{CEO}	J_{EBO}	J_C	J_B	U_{CEO}	U_{EBO}			
BC 307	„130“	10	100nA (20)			200	45	5	50	(140... 290)	$P_{tot} = 280$	22
BC 308	„130“	10	100nA (20)			200	25	5	30	(140... 290)	$P_{tot} = 280$	22
Valvo												
BC 107	„300“	2	15(20)	—	—	100	20	45	6	50	(90... 220)	1
												Planar-Epitaxial Metallgehäuse
BC 108	„300“	2	15(20)	—	—	100	20	20	5	30	(150... 450)	1
												Planar-Epitaxial Metallgehäuse
BC 147	„300“	2	15(20)	—	—	100	20	45	6	50	(90... 220)	1
												Planar-Epitaxial Metallgehäuse
BC 148	„300“	2	15(20)	—	—	100	20	20	5	30	(150... 450)	1
												Planar-Epitaxial Metallgehäuse
BC 112	„150“	2	—	—	—	50	—	20	—	20	(100... 280)	8
											bei	Planar-Epitaxial
											$\vartheta_U = 45^\circ C$	
BC 146	„150“	2	—	—	—	50	—	20	—	20	(115... 380)	9
											bei	Planar-Epitaxial
											$\vartheta_U = 45^\circ C$	Kunststoffgehäuse
BCW 46	„300“	2	10	10(20)	0,1	200	—	60	—	80	125... 260	3
												Planar-Epitaxial Kunststoffgehäuse
BCW 47	„300“	2	10	10(20)	0,1	200	—	45	—	45	240... 500	3
												Planar-Epitaxial Kunststoffgehäuse
BCW 48	„300“	2	10	10(20)	0,1	200	—	20	—	20	450... 900	3
												Planar-Epitaxial Kunststoffgehäuse

6.3. npn-Siliziumtransistor für Breitband-, NF-, HF- sowie mittelschnelle Schaltstufen

Typ	f_β (f_α) in MHz	F in dB	Restströme			Grenzwerte				β (B)	Verlust- leistung in mW	Bauform Art Bemerkungen
			J_{CBO}	J_{CEO}	J_{EBO}	J_C in mA	J_B in V	U_{CEO}	U_{EBO}			
RFT												
SF 021	„60“	—	1(20)	—	1(5)	500	—	U_{CER}	5	20	18... 1120	$P_{VL} = 600$ 1 bei Planar-Epitaxial
SF 022	„60“	—	0,1(33)	—	1(5)	500	—	U_{CER}	5	33	19... 1120	$\vartheta_a = 25^\circ C$ Metallgehäuse bei Planar-Epitaxial
SF 023	„60“	—	0,1(66)	—	1(5)	500	—	U_{CER}	5	66	18... 1120	$\vartheta_a = 25^\circ C$ Metallgehäuse bei Planar-Epitaxial
SF 024	„60“	—	0,1(15)	—	1(5)	500	—	U_{CER}	5	100	18... 1120	$\vartheta_a = 25^\circ C$ Metallgehäuse bei Planar-Epitaxial
SF 025	„60“	—	0,1 120	—	1(5)	500	—	U_{CER}	5	120	18... 1120	$P_{VL} = 600$ 1 bei Planar-Epitaxial $\vartheta_a = 25^\circ C$ Metallgehäuse
SF 121	„60— 130“	5,5	1(20)	—	1(5)	100	—	U_{CER}	5	20	18... 1120	$P_{VL} = 600$ 1 bei Planar-Epitaxial $\vartheta_a = 25^\circ C$ Metallgehäuse
SF 122	„60— 130“	5,5	1(33)	—	1(5)	100	—	U_{CER}	5	33	18... 1120	bei Planar-Epitaxial $\vartheta_a = 25^\circ C$ Metallgehäuse
SF 123	„60— 130“	5,5	1(66)	—	1(5)	100	—	U_{CER}	5	66	18... 1120	bei Planar-Epitaxial $\vartheta_a = 25^\circ C$ Metallgehäuse
SF 126	„60— 100“	4,5	0,1(33)	—	1(7)	500	—	20	7	33	18... 1120	$P_{VL} = 600$ 1 bei Planar-Epitaxial $\vartheta_a = 25^\circ C$ Metallgehäuse
SF 127	„60— 100“	4,5	0,1(60)	—	1(7)	500	—	30	7	66	18... 1120	bei Planar-Epitaxial $\vartheta_a = 25^\circ C$ Metallgehäuse
SF 128	„60— 100“	4,5	0,1 (100)	—	1(7)	500	—	60	7	100	18... 1120	bei Planar-Epitaxial $\vartheta_a = 25^\circ C$ Metallgehäuse
SF 129	„60— 100“	—	0,025 (80)	—	—	500	—	80	7	120	18... 560	$P_{VL} = 600$ 1 bei Planar-Epitaxial $\vartheta_a = 25^\circ C$ Metallgehäuse

Typ	f_β ("f _T ") in MHz	F dB	Restströme			Grenzwerte					β (B)	Verlust leistung in mW	Bauform Art Bemerkungen					
			J _{CBO}	J _{CEO}	J _{EBO}	J _C	J _B	U _{CEO}	U _{EBO}	U _{CBO}								
ČSSR																		
KFY 34	„100“	10	0,01 (60)	—	100(7)	500	100	30	7	75	40... 120	P _C = 800	1 Planar-Epitaxial Metallgehäuse					
KFY 46	„100“	8	0,0001 (60)	—	—	500	100	30	7	75	75... 140	P _C = 800	1 Planar-Epitaxial Metallgehäuse					
UdSSR																		
KT 602A	„150“	—	70(120)	—	50(5)	75	—	100	5	120	20... 80	P = 2800	27 bei $\vartheta_c = 20^\circ\text{C}$ Diffusions-Transistor, Metallgeh.					
KT 602B	„150“	—	70(120)	—	50(5)	75	—	100	5	120	50... 100	P = 2800	27 bei $\vartheta_c = 20^\circ\text{C}$ Diffusions-Transistor, Metallgeh.					
KT 602W	„150“	—	70(80)	—	50(5)	75	—	100	5	120	15... 80	P = 2800	27 bei $\vartheta_c = 20^\circ\text{C}$ Diffusions-Transistor, Metallgeh.					
KT 602G	„150“	—	70(80)	—	50(5)	75	—	100	5	120	15	P = 2800	27 bei $\vartheta_c = 20^\circ\text{C}$ Diffusions-Transistor, Metallgeh.					
Ungarn																		
BFY 33	„100“	—	0,020 (40)	—	—	500	—	—	7	50	20	P _{tot} = 700	1 Planar-Epitaxial Metallgehäuse					
BFY 34	„100“	—	0,010 (60)	—	—	500	—	—	7	75	20	P _{tot} = 700	1 Planar-Epitaxial Metallgehäuse					
BFY 46	„100“	—	0,010 (60)	—	—	500	—	—	7	75	40	P _{tot} = 700	1 Planar-Epitaxial Metallgehäuse					
Siemens																		
BFY 33	„80“	—	0,008 (40)	—	—	500	—	30	7	50	(40)	P _{tot} = 2600	1 bei $T_G = 45^\circ\text{C}$ Planar-Epitaxial Metallgehäuse					
BFY 34	„80“	—	0,003 (60)	—	—	500	—	50	7	75	(40... 120)	P _{tot} = 2600	1 bei $T_G = 45^\circ\text{C}$ Planar-Epitaxial Metallgehäuse					

Typ	f_B (f_α) „f _T “ in in MHz	F dB	Restströme			Grenzwerte				β (B)	Verlust- leistung in mW	Bauform Art Bemerkungen
			J _{CBO}	J _{CEO}	J _{EBO}	J _C	J _B	U _{CEO}	U _{EBO}			
BFY 46	„80“	—	0,003 (60)	—	—	500	—	50	7	75	(100... 300)	P _{tot} = 2600 1 bei T _G = 45 °C Planar-Epitaxial Metallgehäuse
Telefunken												
BSY 44	„60“ (2 N 1613)	—	0,0009 (60)	—	—	500	—	U _{CER} 50	7	75	(105)	P _{tot} = 700 1 bei t _{amb} = 45 °C Planar Metallgehäuse
BSY 45	„50“ (2 N 1893)	—	0,010 (90)	—	—	150	—	80	7	120	(40... 120)	P _{tot} = 700 1 bei t _{amb} = 45 °C Planar Metallgehäuse
BSY 46	„50“ (2 N 2193)	—	0,0008 (60)	—	—	1000	—	50	8	80	(40... 120)	P _{tot} = 700 1 bei t _{amb} = 45 °C Planar-Epitaxial Metallgehäuse
BC 140	„60“	—	0,1(60)	—	—	1000	—	40	7	80	(40... 300)	P _{tot} = 2500 1 bei t _{case} = 25 °C Planar-Epitaxial Metallgehäuse
BSY 71	„70“ (2 N 1711)	—	0,0009 (60)	—	—	500	—	28	7	75	(100... 300)	P _{tot} = 700 1 bei t _{amb} = 45 °C Planar Metallgehäuse
BSY 91	„50“	—	0,050	—	—	50	—	25	5	40	(30)	P _{tot} = 700 1 bei t _{amb} = 45 °C Planar Metallgehäuse
BSX 25	„50“	—	0,050	—	—	50	—	25	5	40	(30)	P _{tot} = 320 1 bei t _{amb} = 45 °C Planar Metallgehäuse
BSY 92	„50“	—	0,020	—	—	50	—	40	5	60	(60)	P _{tot} = 700 1 bei t _{amb} = 45 °C Planar Metallgehäuse
BSY 93	„50“	—	0,020	—	—	50	—	40	5	60	(60)	P _{tot} = 320 1 bei t _{amb} = 45 °C Planar Metallgehäuse
BC 140	„60“	3	100nA (60)			1000	40	7	80	125... 900	P _{tot} = 3700 1	Planar-Epitaxial
Valvo												
BCY 58	„125“	6	—	J _{CER} 0,2 (45)	0,01 (5)	200	50	32	7	—	125... 700	P _{tot} = 1000 1 Planar-Epitaxial Metallgehäuse

Typ	f_β	F	Restströme			Grenzwerte				β (B)	Verlust- leistung in mW	Bauform Art Bemerkungen	
	(f_a) „fT“	in MHz	in dB	J _{CBO}	J _{CEO}	J _{EBO}	J _C	J _B	U _{CEO}	U _{EBO}	U _{CBO}		
BCY 59 „125“	—	6	—	J _{CER}	0,01(5) 0,2(45)	200	50	45	7	—	125... 700	P _{tot} = 1000 1	Planar-Epitaxial Metallgehäuse
BFY 50 „60“	—	0,002 (60)	—	0,001 (5)	1000	—	35	6	80	30... 130	P _{tot} = 4000 1	Planar-Epitaxial Metallgehäuse	
BFY 51 „50“	—	0,002 (40)	—	0,001 (5)	1000	—	30	6	60	30... 130	P _{tot} = 4000 1	Planar-Epitaxial Metallgehäuse	
BFY 52 „50“	—	0,002 (30)	—	0,001 (5)	1000	—	20	6	40	30... 130	P _{tot} = 4000 1	Planar-Epitaxial Metallgehäuse	
BFY 55 „60“ (2 N 2297)	—	0,01 (60)	—	0,01 (5)	1000	—	35	7	80	15... 120	P _{tot} = 4000 1	Planar-Epitaxial Metallgehäuse	
BFY 67 „60“ (2 N 1613)	—	0,01 (60)	—	0,01 (5)	1000	—	30	7	75	(40... 300)	P _{tot} = 1700 1 bei $\vartheta_G = 100^\circ\text{C}$	Planar Metallgehäuse	
BFY 68 „70“ (2 N 1711)	—	0,01 (60)	—	0,005 (5)	1000	—	30	7	75	(100... 300)	P _{tot} = 1700 1 bei $\vartheta_G = 100^\circ\text{C}$	Planar Metallgehäuse	
BFY 67A „60“	—	0,075 (30)	—	0,075 (3)	1000	—	25	5	60	(40)	P _{tot} = 1700 1 bei $\vartheta_G = 100^\circ\text{C}$	Planar Metallgehäuse	
BFY 67C „60“	—	0,010 (25)	—	0,020 (3)	1000	—	25	5	50	(30)	P _{tot} = 1700 1 bei $\vartheta_G = 100^\circ\text{C}$	Planar Metallgehäuse	
BFY 68A „70“	—	0,075 (30)	—	0,075 (3)	1000	—	25	5	60	(100)	P _{tot} = 1700 1 bei $\vartheta_G = 100^\circ\text{C}$	Planar Metallgehäuse	
BSW 65 „80“	—	0,1(40)	—	0,1(3)	2000	—	80	6	80	(30)	P _{tot} = 700 1 bei $\vartheta_U = 45^\circ\text{C}$	Planar-Epitaxial Metallgehäuse	
BSW 66 „80“	—	0,1(50)	—	0,1(3)	2000	—	100	6	100	(30)	P _{tot} = 700 1 bei $\vartheta_U = 45^\circ\text{C}$	Planar-Epitaxial Metallgehäuse	
BSW 67 „80“	—	0,1(60)	—	0,1(3)	2000	—	120	6	120	(30)	P _{tot} = 700 1 bei $\vartheta_U = 45^\circ\text{C}$	Planar-Epitaxial Metallgehäuse	

gg	Typ	f_β ("f _T ") in MHz	F dB	Restströme			Grenzwerte				β (B)	Verlust- leistung in mW	Bauform Bemerkungen Art
				J_{CBO}	J_{CEO}	J_{EBO}	J_C in mA	J_B in mA	U_{CEO} in V	U_{EBO}	U_{CBO}		
BSW 68	„80“	—	0,1(75)	—	0,1(3)	2000	—	150	6	150	(30)	$P_{tot} = 700$	1
												bei $\vartheta_U = 45^\circ C$	Planar-Epitaxial Metallgehäuse
BSX 95	„100“	12	0,01 (60)	—	0,01 (5)	1000	—	30	7	75	(40... 120)	$P_{tot} = 700$	1
												bei $\vartheta_U = 45^\circ C$	Planar-Epitaxial Metallgehäuse
BSX 96	„100“	8	0,01 (60)	—	0,01 (5)	1000	—	30	7	75	(50... 300)	$P_{tot} = 700$	1
												bei $\vartheta_U = 45^\circ C$	Planar-Epitaxial Metallgehäuse
BSV 64	„100“	—	0,01 (60)	—	0,01 (4)	5000	—	60	5	100	(40)	$P_{tot} = 2000$	1
												bei $\vartheta_G = 100^\circ C$	Planar-Epitaxial Metallgehäuse

6.4. npn-Siliziumtransistor für NF-, HF- sowie schnelle Schaltstufen

Typ	f_β (f_α) in MHz	F in dB	Restströme J _{CBO} in μA	J _{CEO} in μA	J _{EBO} in μA	Grenzwerte J _C in mA	J _B in mA	U _{CEO} in V	U _{EBO} in V	U _{CBO} in V	β (B)	Verlust- leistung in mW	Bauform Art Bemerkungen
RFT													
SF 131	„330“	7	0,1 (20)	—	0,1(5)	50	10	12	5	20	18... 1120	P _{VL} = 300 bei $\theta_a = 25^\circ\text{C}$	1 Planar Metallgehäuse
SF 132	„270“	7	0,1(40)	—	0,1(5)	50	10	15	5	40	18... 1120	P _{VL} = 300 bei $\theta_a = 25^\circ\text{C}$	1 Planar Metallgehäuse
Polen													
BF 520	„150“	—	0,1(6)	—	—	50	30	5	50	20... 200	P _C = 300 200	1	Planar-Epitaxial
BF 521	„150“	—	0,1(6)	—	—	50	15	5	30	20... 200	P _C = 300 200	1	Planar-Epitaxial
UdSSR													
KT 312A	„80“	—	10(15)	—	10(4)	30	—	U _{CER} 4 15	15	(10... 100)	P _{tot} = 450 bei $\theta_a = 60^\circ\text{C}$	28	Planar Metallgehäuse
KT 312B	„120“	—	10(15)	—	10(4)	30	—	U _{CER} 4 30	30	(25... 100)	P _{tot} = 450 bei $\theta_a = 60^\circ\text{C}$	28	Planar Metallgehäuse
KT 312W	„120“	—	10(15)	—	10(4)	30	—	U _{CER} 4 15	15	(50... 280)	P _{tot} = 450 bei $\theta_a = 60^\circ\text{C}$	28	Planar Metallgehäuse
KT 315A	„250“	—	1(10)	—	30(5)	100	—	U _{CER} — 20	—	(20... 90)	P _{tot} = 150 (70... 350)	29	Planar-Epitaxial Kunststoffgehäuse
KT 315B	„250“	—	1(10)	—	30(5)	100	—	U _{CER} — 15	—	(20... 90)	P _{tot} = 150 (70... 350)	29	Planar-Epitaxial Kunststoffgehäuse
KT 315W	„250“	—	1(10)	—	30(5)	100	—	U _{CER} — 30	—	(20... 90)	P _{tot} = 150 (70... 350)	29	Planar-Epitaxial Kunststoffgehäuse
KT 315G	„250“	—	1(10)	—	30(5)	100	—	U _{CER} — 25	—	(20... 90)	P _{tot} = 150 (70... 350)	29	Planar-Epitaxial Kunststoffgehäuse
Intermetall													
BSY 19 (2N708)	300	—	0,025 (20)	—	0,1 (4)	200	—	15	5	40	(30... 150)	P _{tot} = 360 bei $T_U = 25^\circ\text{C}$	1 Planar Metallgehäuse

Typ	f_β (f_α) „ f_T “ in MHz	F in dB	Restströme			Grenzwerte					β (B)	Verlust- leistung in mW	Bauform Art Bemerkungen
			J_{CBO}	J_{CEO}	J_{EBO}	J_C	J_B	U_{CEO}	U_{EBO}	U_{CBO}			
BSY 20 (2N706B)	300	—	0,5(15)	—	—	0,01(5)	50	—	15	5	25	(20... 60	$P_{tot} = 300$ bei Planar
													$T_U = 25^\circ C$ Metallgehäuse
BSY 21 (2N914)	300	—	0,025 (20)	—	—	—	500	—	15	5	40	(30... 120)	$P_{tot} = 360$ bei Planar
													$T_U = 25^\circ C$ Metallgehäuse
BSY 22 (2N916)	300	—	0,01 (15)	—	—	—	200	—	25	5	45	40... 200	$P_{tot} = 360$ bei Planar
													$T_U = 25^\circ C$ Metallgehäuse
BSY 23	300	—	0,5(20)	—	—	—	200	—	30	5	40	(25)	$P_{tot} = 300$ bei Planar
													$T_U = 25^\circ C$ Metallgehäuse
BSY 51 (2N697)	„100“	6	0,1(30)	—	—	0,050 (3)	500	—	25	5	60	30... 100	$P_{tot} = 800$ bei Planar-Epitaxial
													$T_U = 25^\circ C$ Metallgehäuse
BSY 52 (2N1420)	„130“	6	0,1(30)	—	—	0,05(3)	500	—	25	5	60	50... 200	$P_{tot} = 800$ bei Planar-Epitaxial
													$T_U = 25^\circ C$ Metallgehäuse
BSY 53 (2N1613)	„100“	6	0,01 (60)	—	—	0,01 (5)	750	—	30	7	75	30... 100	$P_{tot} = 800$ bei Planar-Epitaxial
													$T_U = 25^\circ C$ Metallgehäuse
BSY 54 (2N1711)	„100“	8	0,01 (60)	—	—	0,01 (5)	750	—	30	7	75	50... 250	$P_{tot} = 800$ bei Planar-Epitaxial
													$T_U = 25^\circ C$ Metallgehäuse
BSY 55 (2N1893)	„100“	6	0,01 (90)	—	—	0,01 (10)	500	—	80	7	120	30... 150	$P_{tot} = 800$ bei Planar-Epitaxial
													$T_U = 25^\circ C$ Metallgehäuse
BSY 56	„145“	6	0,01 (90)	—	—	0,01 (5)	500	—	80	7	120	60... 280	$P_{tot} = 800$ bei Planar-Epitaxial
													$T_U = 25^\circ C$ Metallgehäuse
BSY 73	„145“	12	0,1(20)	—	—	0,1(4)	100	—	18	5	25	80	$P_{tot} = 155$ bei Planar-Epitaxial
													$T_U = 45^\circ C$ Metallgehäuse
BSY 74	„170“	12	0,1(20)	—	—	0,1(4)	100	—	18	5	25	150	$P_{tot} = 155$ bei Planar-Epitaxial
													$T_U = 45^\circ C$ Metallgehäuse
BSY 75	„145“	12	0,05 (32)	—	—	0,05 (4)	250	—	32	7	40	90	$P_{tot} = 155$ bei Planar-Epitaxial
													$T_U = 45^\circ C$ Metallgehäuse

Typ	f_β (f_x) in MHz	F in dB	Restströme			Grenzwerte					β (B)	Verlust- leistung in mW	Bauform Art Bemerkungen
			J _{CBO}	J _{CEO}	J _{EBO}	J _C	J _B	U _{CEO}	U _{EBO}	U _{CBO}			
BSY 76 „170“	12	0,05 (32)	—	0,05 (4)	250	—	32	7	40	150	P _{tot} = 155 bei	1	Planar-Epitaxial $T_U = 45^\circ C$ Metallgehäuse
BSY 77 „145“	12	0,05 (65)	—	0,05 (4)	250	—	64	7	80	90	P _{tot} = 155 bei	1	Planar-Epitaxial $T_U = 45^\circ C$ Metallgehäuse
BSY 78 „170“	12	0,05 (65)	—	0,05 (4)	250	—	64	7	80	150	P _{tot} = 155 bei	1	Planar-Epitaxial $T_U = 45^\circ C$ Metallgehäuse
BSY 80 „210“	12	0,1(20)	—	0,1(4)	100	—	18	5	25	375	P _{tot} = 155 bei	1	Planar-Epitaxial $T_U = 45^\circ C$ Metallgehäuse
BSY 81 „100“	—	0,1(30)	—	0,01(3)	1000	—	18	5	40	15...	P _{tot} = 900 bei	1	Planar-Epitaxial $T_U = 25^\circ C$ Metallgehäuse
BSY 82 „120“	—	0,1(30)	—	0,01(3)	1000	—	18	5	40	20...	P _{tot} = 900 bei	1	Planar-Epitaxial $T_U = 25^\circ C$ Metallgehäuse

BSY 83 „100“	—	0,01 (60)	—	0,01 (5)	1000	—	35	7	80	15...	P _{tot} = 900 bei	1	Planar-Epitaxial $T_U = 25^\circ C$ Metallgehäuse
BSY 84 „120“	—	0,01 (60)	—	0,01 (5)	1000	—	35	7	80	20...	P _{tot} = 900 bei	1	Planar-Epitaxial $T_U = 25^\circ C$ Metallgehäuse
BSY 85 „110“ (2N2193A)	—	0,01 (90)	—	0,01 (5)	1000	—	64	7	120	15...	P _{tot} = 900 bei	1	Planar-Epitaxial $T_U = 25^\circ C$ Metallgehäuse
BSY 86 „130“	—	0,01 (90)	—	0,01 (5)	1000	—	64	7	120	20...	P _{tot} = 900 bei	1	Planar-Epitaxial $T_U = 25^\circ C$ Metallgehäuse
BSY 87 „100“ (2N1889)	—	0,01 (75)	—	0,01 (5)	500	—	60	7	100	30...	P _{tot} = 800 bei	1	Planar-Epitaxial $T_U = 25^\circ C$ Metallgehäuse
BSY 88 „145“ (2N1890)	6	0,01 (75)	—	0,01 (5)	500	—	60	7	100	60...	P _{tot} = 800 bei	1	Planar-Epitaxial $T_U = 25^\circ C$ Metallgehäuse
BSY 90 „170“	8	0,01 (30)	—	0,05 (3)	500	—	25	5	60	200...	P _{tot} = 800 bei	1	Planar-Epitaxial $T_U = 25^\circ C$ Metallgehäuse

Typ	f_β (f_α) „f _T “ in MHz	F in dB	Restströme			Grenzwerte				β (B)	Verlust leistung in mW	Bauform Art Bemerkungen
			J _{CBO}	J _{CEO}	J _{EBO}	J _C in mA	J _B in V	U _{CEO}	U _{EBO}	U _{CBO}		
Siemens												
BFY 12	„180“	—	0,02 (50)	—	—	500	—	40	5	60	(20... 300)	P _{tot} = 700 1 bei T _U = 45 °C Metallgehäuse
BFY 13	„180“	—	0,02 (65)	—	—	350	—	60	5	80	(20... 300)	P _{tot} = 700 1 bei T _U = 45 °C Metallgehäuse
BFY 14	„180“	—	0,02 (80)	—	—	250	—	80	5	100	(20... 300)	P _{tot} = 700 1 bei T _U = 45 °C Metallgehäuse
Telefunken												
BSY 55	„100“	—	0,01 (90)	—	—	500	—	80	7	120	(40... 120)	P _{tot} = 800 1 bei t _{amb} = 45 °C Planar-Epitaxial Metallgehäuse
BSY 56	„100“	—	0,01 (90)	—	—	500	—	80	7	120	(100... 300)	P _{tot} = 800 1 bei t _{amb} = 45 °C Planar-Epitaxial Metallgehäuse
Valvo												
BSW 51	„250“	—	0,01 (50)	—	0,01 (3)	800	—	30	5	60	(40)	P _{tot} = 700 1 bei θ _U = 45 °C Planar-Epitaxial Metallgehäuse
BSW 52	„250“	—	0,01(5)	—	0,01(3)	800	—	30	5	60	(100)	P _{tot} = 700 1 bei θ _U = 45 °C Planar-Epitaxial Metallgehäuse
BSW 53	„250“	—	0,01 (60)	—	0,01 (3)	800	—	40	6	75	(40)	P _{tot} = 700 1 bei θ _U = 45 °C Planar-Epitaxial Metallgehäuse
BSW 54	„300“	—	0,01 (60)	—	0,01 (3)	800	—	40	6	75	(100)	P _{tot} = 700 1 bei θ _U = 45 °C Planar-Epitaxial Metallgehäuse
BSW 61	„250“	—	0,01 (50)	—	0,01 (3)	800	—	30	5	60	(40)	P _{tot} = 430 1 bei θ _U = 45 °C Planar-Epitaxial Metallgehäuse
BSW 62	„250“	—	0,01 (50)	—	0,01 (3)	800	—	30	5	60	(100)	P _{tot} = 430 1 bei θ _U = 45 °C Planar-Epitaxial Metallgehäuse
BSW 63	„250“	—	0,01 (60)	—	0,01 (3)	800	—	40	6	75	(40)	P _{tot} = 430 1 bei θ _U = 45 °C Planar-Epitaxial Metallgehäuse

Typ	f_β (f_α)	F „f _T “ in MHz	Restströme			Grenzwerte				β (B)	Verlust- leistung in mW	Bauform Art Bemerkungen
			J _{CBO}	J _{CEO}	J _{EBO}	J _C in mA	J _B in V	U _{CEO}	U _{EBO}			
BSW 64 „300“	—	0,01 (50)	—	0,01 (3)	—	800	—	40	6	75	(100)	P _{tot} = 430 1 bei Planar-Epitaxial $\vartheta_U = 45^\circ\text{C}$ Metallgehäuse
BSY 19 „300“ (2N708)	—	0,025 (20)	—	0,1 (4)	—	200	—	15	5	40	(30... 120)	P _{tot} = 320 1 bei Planar-Epitaxial $\vartheta_U = 45^\circ\text{C}$ Metallgehäuse
2 N 2218 „250“	—	0,01 (50)	—	0,01 (3)	—	800	—	30	5	60	(40)	P _{tot} = 700 1 bei Planar-Epitaxial $\vartheta_U = 45^\circ\text{C}$ Metallgehäuse
2 N 2219 „250“	—	0,01 (50)	—	0,01 (3)	—	80	—	30	5	60	(100)	P _{tot} = 700 1 bei Planar-Epitaxial $\vartheta_U = 45^\circ\text{C}$ Metallgehäuse
2 N 2218A „250“	—	0,01 (60)	—	0,01 (3)	—	800	—	40	6	75	(40)	P _{tot} = 700 1 bei Planar-Epitaxial $\vartheta_U = 45^\circ\text{C}$ Metallgehäuse
2 N 2219A „300“	—	0,01 (60)	—	0,01 (3)	—	800	—	40	6	75	(100)	P _{tot} = 700 1 bei Planar-Epitaxial $\vartheta_U = 45^\circ\text{C}$ Metallgehäuse
2 N 2221 „250“	—	0,01 (50)	—	0,01 (3)	—	800	—	30	5	60	(40)	P _{tot} = 430 1 bei Planar-Epitaxial $\vartheta_U = 45^\circ\text{C}$ Metallgehäuse
2 N 2222 „250“	—	0,01 (50)	—	0,01 (3)	—	800	—	30	5	60	(100)	P _{tot} = 430 1 bei Planar-Epitaxial $\vartheta_U = 45^\circ\text{C}$ Metallgehäuse
2 N 2221A „250“	—	0,01 (60)	—	0,01 (3)	—	800	—	40	6	75	(40)	P _{tot} = 430 1 bei Planar-Epitaxial $\vartheta_U = 45^\circ\text{C}$ Metallgehäuse
2 N 2222A „300“	—	0,01 (50)	—	0,01 (3)	—	800	—	40	6	75	(100)	P _{tot} = 430 1 bei Planar-Epitaxial $\vartheta_U = 45^\circ\text{C}$ Metallgehäuse
BSW 33 „175“	—	0,050 (20)	—	0,01 (2)	—	200	—	32	5	40	(60... 180)	P _{tot} = 125 3 bei Planar-Epitaxial $\vartheta_U = 45^\circ\text{C}$ Kunststoffgehäuse
BSX 68 „175“	—	0,5 (20)	—	0,01 (2)	—	200	—	15	5	30	(30... 300)	P _{tot} = 125 3 bei Planar-Epitaxial $\vartheta_U = 45^\circ\text{C}$ Kunststoffgehäuse
BSX 69 „175“	—	0,5 (20)	—	0,01 (2)	—	200	—	20	5	30	(60... 180)	P _{tot} = 125 3 bei Planar-Epitaxial $\vartheta_U = 45^\circ\text{C}$ Kunststoffgehäuse

6.5. pnp-Siliziumtransistor für NF-Vor- und Treiberstufen sowie Sonderzwecke

Typ	f_β (f_α) "f _T " in MHz	F in dB	Restströme			Grenzwerte			β (B)	Verlust- leistung in mW	Bauform Art Bemerkung
			-J _{CBO}	-J _{CEO}	-J _{EBO}	-J _C	-J _B	-U _{CEO}			
						in mA	in V				
RFT											
SC 100	(0,8)	max — 15	—	0,1(6)	—	50	—	10	10	—	(6... 12) $P_c = 250$ 1 Legierungstyp Metallgehäuse
SC 103	(1,5 — 4,2)	— —	—	0,1(6)	—	50	—	10	10	—	(6... 23) $P_c = 250$ 1 Legierungstyp Metallgehäuse
SC 104	(3 — 6)	— —	—	0,1(6)	—	50	—	10	10	—	(6... 35) $P_c = 250$ 1 Legierungstyp Metallgehäuse
SC 106	—	— —	—	0,5(10)	—	50	—	10	—	—	10 $P_c = 250$ 1 Legierungstyp Metallgehäuse
SC 107	—	— —	—	0,5(10)	—	50	—	10	—	—	8 $P_c = 250$ 1 Legierungstyp Metallgehäuse
SC 108	—	— —	—	2(10)	—	50	—	10	—	—	10 $P_c = 250$ 1 Legierungstyp Metallgehäuse
SC 109	—	— —	—	5(10)	—	50	—	9	—	—	20 $P_c = 250$ 1 Legierungstyp Metallgehäuse
SS 101	1,9	15 —	—	0,1(6)	—	50	—	33	—	—	(12) $P_c = 250$ 1 Legierungstyp Metallgehäuse
SS 102	1,0	15 —	—	0,1(6)	—	50	—	66	—	—	(10) $P_c = 250$ 1 Legierungstyp Metallgehäuse
Intermetall											
OC 430	(0,6)	7	0,4(10)	0,4(10)	0,15 (10)	50	—	10	10	10	(10... 25) $P_{tot} = 200$ 1 bei Legierungstyp $T_u = 45^\circ C$ Metallgehäuse
OC 430k	(0,6)	7	0,4(10)	0,4(10)	0,15 (10)	50	—	10	10	10	(10... 25) $P_{tot} = 250$ 1 bei Legierungstyp $T_u = 45^\circ C$ Metallgehäuse
OC 440	(0,6)	7	0,4(10)	0,5(10)	0,15 (10)	50	—	30	10	30	(5... 20) $P_{tot} = 200$ 1 bei Legierungstyp $T_u = 45^\circ C$ Metallgehäuse

Typ	f_β (f_α)	F "f _T " in MHz	Restströme in dB	Grenzwerte						β (B)	Verlust- leistung in mW	Bauform Art Bemerkung	
				-J _{CBO}	-J _{CEO}	-J _{EBO}	-J _C	-J _B	-U _{CEO}	-U _{EBO}	-U _{CBO}		
OC 440k	(0,6)	7	0,4(10) 0,5(10) 0,15(10)	50	—	30	10	30	(5... 20)	P _{tot} = 250	1	bei T _u = 45 °C	Legierungstyp Metallgehäuse
OC 443	(0,3... 3,5)	7	0,4(10) 0,5(10) 0,15(10)	50	—	25	20	25	(9... 50)	P _{tot} = 200	1	bei T _u = 45 °C	Legierungstyp Metallgehäuse
OC 443k	(0,3... 3,5)	7	0,4(10) 0,5(10) 0,15(10)	50	—	25	20	25	(9... 50)	P _{tot} = 250	1	bei T _u = 45 °C	Legierungstyp Metallgehäuse
OC 445	(0,6)	7	0,4(10) 0,5(10) 0,15(10)	50	—	50	10	50	(5... 20)	P _{tot} = 200	1	bei T _u = 45 °C	Legierungstyp Metallgehäuse
OC 445k	(0,6)	7	0,4(10) 0,5(10) 0,15(10)	50	—	50	10	50	(5... 20)	P _{tot} = 250	1	bei T _u = 45 °C	Legierungstyp Metallgehäuse
OC 449	(0,6)	7	0,1(10) 0,5(10) 0,1(10)	50	—	60	30	60	(5... 15)	P _{tot} = 200	1.	bei T _u = 45 °C	Legierungstyp Metallgehäuse
OC 449k	(0,6)	7	0,1(10) 0,5(10) 0,1(10)	50	—	60	30	60	(5... 15)	P _{tot} = 250	1	bei T _u = 45 °C	Legierungstyp Metallgehäuse
OC 450	(0,8)	7	0,4(10) 0,5(10) 0,15(10)	50	—	75	10	75	(5... 20)	P _{tot} = 200	1	bei T _u = 45 °C	Legierungstyp Metallgehäuse
OC 450k	(0,8)	7	0,4(10) 0,5(10) 0,15(10)	50	—	75	10	75	(5... 20)	P _{tot} = 250	1	bei T _u = 45 °C	Legierungstyp Metallgehäuse
OC 460	(1,2)	7	0,4(10) 0,4(10) 0,2(10)	50	—	10	10	10	(10... 35)	P _{tot} = 200	1	bei T _u = 45 °C	Legierungstyp Metallgehäuse
OC 460k	(1,2)	7	0,4(10) 0,4(10) 0,2(10)	50	—	10	10	10	(10... 35)	P _{tot} = 250	1	bei T _u = 45 °C	Legierungstyp Metallgehäuse
OC 463	(4)	7	0,4(10) 0,4(10) 0,5(10)	50	—	10	10	10	(10... 30)	P _{tot} = 200	1	bei T _u = 45 °C	Legierungstyp Metallgehäuse
OC 463k	(4)	7	0,4(10) 0,4(10) 0,5(10)	50	—	10	10	10	(10... 30)	P _{tot} = 250	1	bei T _u = 45 °C	Legierungstyp Metallgehäuse

Typ	f_β (f_α) „f _T “	F in dB	Restströme				Grenzwerte				β (B)	Verlust- leistung in mW	Bauform Art Bemerkung
			-J _{CBO}	-J _{CEO}	-J _{EBO}	-J _C	-J _B	-U _{CEO}	-U _{EBO}	-U _{CBO}			
OC 465	(1)	7	0,4(10)	0,5(10)	0,15(10)	50	—	20	10	20	(10... 35)	P _{tot} = 200 bei $T_u = 45^\circ C$	1 Legierungstyp Metallgehäuse
OC 465k	(1)	7	0,4(10)	0,5(10)	0,15(10)	50	—	20	10	20	(10... 35)	P _{tot} = 250 bei $T_u = 45^\circ C$	1 Legierungstyp Metallgehäuse
OC 466	(1,2)	9	0,4(10)	2(10)	0,15(10)	50	—	10	10	10	(10... 20)	P _{tot} = 200 bei $T_u = 45^\circ C$	1 Legierungstyp Metallgehäuse
OC 466k	(1,2)	9	0,4(10)	2(10)	0,15(10)	50	—	10	10	10	(10... 20)	P _{tot} = 250 bei $T_u = 45^\circ C$	1 Legierungstyp Metallgehäuse
OC 467	(1,5)	6	0,1(10)	0,8(10)	0,1(10)	50	—	25	20	25	(13... 50)	P _{tot} = 200 bei $T_u = 45^\circ C$	1 Legierungstyp Metallgehäuse
OC 467k	(1,5)	6	0,1(10)	0,8(10)	0,1(10)	50	—	25	20	25	(13... 50)	P _{tot} = 250 bei $T_u = 45^\circ C$	1 Legierungstyp Metallgehäuse
OC 468	(2,5)	7	0,4(10)	0,4(10)	0,8(10)	50	—	10	10	10	(15... 40)	P _{tot} = 200 bei $T_u = 45^\circ C$	1 Legierungstyp Metallgehäuse
OC 468k	(2,5)	7	0,4(10)	0,4(10)	0,8(10)	50	—	10	10	10	(15... 40)	P _{tot} = 250 bei $T_u = 45^\circ C$	1 Legierungstyp Metallgehäuse
OC 469	(1)	—	0,4(10)	0,5(10)	0,2(10)	50	—	32	10	32	(10... 20)	P _{tot} = 200 bei $T_u = 45^\circ C$	1 Legierungstyp Metallgehäuse
OC 469k	(1)	—	0,4(10)	0,5(10)	0,2(10)	50	—	32	10	32	(10... 20)	P _{tot} = 250 bei $T_u = 45^\circ C$	1 Legierungstyp Metallgehäuse
OC 470	(1,2)	7	0,4(10)	0,5(10)	0,2(10)	50	—	30	10	30	(10... 50)	P _{tot} = 200 bei $T_u = 45^\circ C$	1 Legierungstyp Metallgehäuse
OC 470k	(1,2)	7	0,4(10)	0,5(10)	0,2(10)	50	—	30	10	30	(10... 50)	P _{tot} = 250 bei $T_u = 45^\circ C$	1 Legierungstyp Metallgehäuse
OC 480	(0,6)	7	0,4(10)	0,5(10)	0,15(10)	50	—	125	10	125	(5... 20)	P _{tot} = 200 bei $T_u = 45^\circ C$	1 Legierungstyp Metallgehäuse

Typ	f_β (f_α) "fT" in MHz	F in dB	Restströme				Grenzwerte				β (B)	Verlust- leistung in mW	Bauform Art Bemerkung	
			-J _{CBO}	-J _{CEO}	-J _{EBO}	-J _C	-J _B	-U _{CEO}	-U _{EBO}	-U _{CBO}				
OC 480k (0,6)	7	0,4(10)	0,5(10)	0,15(10)	50	—	125	10	125	(5... 20)	P _{tot} = 250	1	bei Legierungstyp	
BC 192	—	—	0,1(20)	—	—	500	—	25	5	25	(60... 180)	P _{tot} = 400	1	bei Metallgehäuse
BSW 72	—	—	0,1(30)	—	—	500	—	25	5	40	(40... 120)	P _{tot} = 400	1	bei Planar-Epitaxial
BSW 73	—	—	0,1(30)	—	—	500	—	25	5	40	(100... 300)	P _{tot} = 400	1	bei T _u = 45 °C Metallgehäuse
BSW 74	—	—	0,01 (50)	—	—	500	—	40	5	75	(40... 120)	P _{tot} = 400	1	bei Planar-Epitaxial
BSW 75	—	—	0,01 (50)	—	—	500	—	40	5	75	(100... 300)	P _{tot} = 400	1	bei T _u = 25 °C Metallgehäuse
2 N 2906	—	—	0,02 (50)	—	—	600	—	40	5	60	(40... 120)	P _{tot} = 400	1	bei Planar-Epitaxial
2 N 2906A	—	—	0,02 (50)	—	—	600	—	60	5	60	(40... 120)	P _{tot} = 400	1	bei Planar-Epitaxial
2 N 2907	—	—	0,02 (50)	—	—	600	—	40	5	60	(100... 300)	P _{tot} = 400	1	bei Planar-Epitaxial
2 N 2907A	—	—	0,01 (50)	—	—	600	—	60	5	60	(100... 300)	P _{tot} = 400	1	bei T _u = 25 °C Metallgehäuse
BC 360-6	—	—	0,1(40)	—	—	500	—	40	5	40	(40... 100)	P _{tot} = 800	1	bei Planar-Epitaxial
BC 360-10	—	—	0,1(40)	—	—	500	—	40	5	40	(63... 160)	P _{tot} = 800	1	bei Planar-Epitaxial
BC 360-16	—	—	0,1(40)	—	—	500	—	40	5	40	(100... 250)	P _{tot} = 800	1	bei Planar-Epitaxial
													T _u = 25 °C Metallgehäuse	

Typ	f_β (f_α) „ f_T “ in MHz	F in dB	Restströme			Grenzwerte				β (B)	Verlust- leistung in mW	Baum- form Art Bemerkung	
			- J_{CBO}	- J_{CEO}	- J_{EBO}	- J_C	- J_B	- U_{CEO}	- U_{EBO}				
BC361-6	—	—	0,1(60)	—	—	500	—	60	5	60	(40... 100)	$P_{tot} = 800$ bei $T_u = 25^\circ C$	1 Planar-Epitaxial Metallgehäuse
BC361-10	—	—	0,1(60)	—	—	500	—	60	5	60	(63... 160)	$P_{tot} = 800$ bei $T_u = 25^\circ C$	1 Planar-Epitaxial Metallgehäuse
BSX 40	—	—	0,025 (25)	—	—	500	—	30	5	30	(40... 100)	$P_{tot} = 800$ bei $T_u = 25^\circ C$	1 Planar-Epitaxial Metallgehäuse
BSX 41	—	—	0,025 (25)	—	—	500	—	30	5	30	(100... 300)	$P_{tot} = 800$ bei $T_u = 25^\circ C$	1 Planar-Epitaxial Metallgehäuse
2 N 2904	—	—	0,02 (50)	—	—	600	—	40	5	60	(40... 120)	$P_{tot} = 800$ bei $T_u = 25^\circ C$	I Planar-Epitaxial Metallgehäuse
2N 2904A	—	—	0,01 (50)	—	—	600	—	60	5	60	(40... 120)	$P_{tot} = 800$ bei $T_u = 25^\circ C$	1 Planar-Epitaxial Metallgehäuse
2N 2905	—	—	0,02 (50)	—	—	600	—	40	5	60	(100... 300)	$P_{tot} = 800$ bei $T_u = 25^\circ C$	1 Planar-Epitaxial Metallgehäuse
2N 2905A	—	—	0,01 (50)	—	—	600	—	60	5	60	(100... 300)	$P_{tot} = 800$ bei $T_u = 25^\circ C$	1 Planar-Epitaxial Metallgehäuse
Japan													
2 SC 281 „150“	8	0,1(20)				100		30	5	30	60... 500	$P_C = 200$	33
2 SC 283 „150“		0,1(20)				100		50	5	50	35... 200	$P_C = 350$	33
Telefunken													
BC 157 „130“	3	—	—	—	—	100	—	45	5	50	75... 260	$P_{tot} = 220$ bei $t_{amb} = 45^\circ C$	5 Planar-Epitaxial Kunststoffgehäuse
BC 158 „130“	3	—	—	—	—	100	—	25	5	30	75... 500	$P_{tot} = 220$ bei $t_{amb} = 45^\circ C$	5 Planar-Epitaxial Kunststoffgehäuse
BC 159 „130“	3	—	—	—	—	100	—	20	5	25	125... 500	$P_{tot} = 220$ bei $t_{amb} = 45^\circ C$	5 Planar-Epitaxial Kunststoffgehäuse

Typ	f_β (f_α) "f _T " in MHz	F dB	Restströme				Grenzwerte				β (B)	Verlust- leistung in mW	Bauform Art Bemerkung
			-J _{CBO}	-J _{CEO}	-J _{EBO}	-J _C	-J _B	-U _{CEO}	-U _{EBO}	-U _{CBO}			
BC 177	„130“	3	—	—	—	100	—	45	5	50	75...	P _{tot} = 300	1
											260	bei t _{amb} = 45 °C	Planar-Epitaxial Metallgehäuse
BC 178	„130“	3	—	—	—	100	—	25	5	30	75...	P _{tot} = 300	1
											500	bei t _{amb} = 45 °C	Planar-Epitaxial Metallgehäuse
BC 179	„130“	3	—	—	—	100	—	20	5	25	125...	P _{tot} = 300	1
											500	bei t _{amb} = 45 °C	Planar-Epitaxial Metallgehäuse
BCY 79	„200“	6	—	—	—	200	—	45	5	—	125...	P _{tot} = 300	1
											500		Planar-Epitaxial Metallgehäuse
BCY 17	(1,2)	—	0,001 (15)	0,1 (30)	0,001 (15)	50	—	30	30	30	20...	P _{tot} = 300	1
											50		Legierungstyp Metallgehäuse
BCY 18	(2)	—	0,001 (15)	0,1 (30)	0,001 (15)	50	—	30	30	30	40...	P _{tot} = 300	1
											100		Legierungstyp Metallgehäuse
BCY 19	(0,8)	—	0,001 (15)	0,1 (50)	0,001 (15)	50	—	50	50	50	20...	P _{tot} = 300	1
											50		Legierungstyp Metallgehäuse
BCY 20	(0,5)	—	0,001 (15)	0,1 (100)	0,001 (15)	50	—	100	100	100	10...	P _{tot} = 300	1
											25		Legierungstyp Metallgehäuse
BCY 27	(1)	—	0,001 (15)	—	0,001 (15)	50	—	25	30	30	15...	P _{tot} = 230	1
											60		Legierungstyp Metallgehäuse
BCY 28	(1,5)	—	0,001 (15)	—	0,001 (15)	50	—	25	30	30	25...	P _{tot} = 230	1
											80		Legierungstyp Metallgehäuse
BCY 29	(0,5)	—	0,001 (15)	—	0,001 (15)	50	—	60	30	60	10...	P _{tot} = 230	1
											40		Legierungstyp Metallgehäuse
Valvo													
BC 157	„150“	2	0,1	—	—	100	20	45	5	50	(140)	P _{tot} = 250	1
												Planar-Epitaxial Metallgehäuse	
BC 158	„150“	2	0,1	—	—	100	20	25	5	30	(140)	P _{tot} = 250	1
												Planar-Epitaxial Metallgehäuse	

Typ	f_β (f_α) „f _T “	F in MHz	Restströme in dB	Grenzwerte								β (B)	Verlust- leistung in mW	Bauform Art Bemerkung	
				-J _{CBO}	-J _{CEO}	-J _{EBO}	-J _C	-J _B	-U _{CEO}	-U _{EBO}	-U _{CBO}				
BC 159	„150“	1	0,1	—	—	—	100	20	20	5	25	(180)	P _{tot} = 250	1	Planar-Epitaxial Metallgehäuse
BC 177	„150“	2	0,1	—	—	—	100	20	45	5	50	(140)	P _{tot} = 300	1	Planar-Epitaxial Metallgehäuse
BC 178	„150“	2	0,1	—	—	—	100	20	25	5	30	(140)	P _{tot} = 300	1	Planar-Epitaxial Metallgehäuse
BC 179	„150“	1	0,1	—	—	—	100	—	20	5	25	(180)	P _{tot} = 300	1	Planar-Epitaxial Metallgehäuse
BC 200	„90“	2	0,1	—	—	—	50	—	20	5	20	(75... 250)	P _{tot} = 50	9	Planar-Epitaxial Kunststoffgehäuse
BCY 30	„1,2“	8	0,05(6)	—	0,05(6)	50	15	64	45	64	(10... 35)	P _{tot} = 250	1	Legierungstyp Metallgehäuse	
BCY 31	„1,7“	8	0,05(6)	—	(0,05(6)	50	15	64	45	64	(15... 60)	P _{tot} = 250	1	Legierungstyp Metallgehäuse	
BCY 32	„2,5“	8	0,05(6)	—	0,05(6)	50	15	64	32	64	(20... 70)	P _{tot} = 250	1	Legierungstyp Metallgehäuse	
BCY 33	„1,5“	8	0,05(6)	—	0,05(6)	50	15	32	16	32	(10... 35)	P _{tot} = 250	1	Legierungstyp Metallgehäuse	
BCY 34	„2,4“	8	0,05(6)	—	0,05(6)	50	15	32	16	32	(15... 80)	P _{tot} = 250	1	Legierungstyp Metallgehäuse	
BCY 38	„1,5“	8	0,1(6)	—	0,1(6)	250	125	24	12	32	15... 45	P _{tot} = 500	1	Legierungstyp Metallgehäuse	
BCY 39	„1,5“	8	0,1(6)	—	0,1(6)	250	125	60	12	64	15... 100	P _{tot} = 500	1	Legierungstyp Metallgehäuse	
BCY 40	„2,5“	8	0,1(6)	—	0,1(6)	250	125	24	12	32	30... 160	P _{tot} = 500	1	Legierungstyp Metallgehäuse	

Typ	f_β (f_α)	F „f _T “ in MHz	F in dB	Restströme			Grenzwerte			β (B)	Verlust- leistung in mW	Bauform Art Bemerkung	
				-J _{CBO}	-J _{CEO}	-J _{EBO}	-J _C	-J _B	-U _{CEO}				
BCY 54	„2“	8	0,1(6)	—	0,1(6)	250	125	50	12	50	20... 120	P _{tot} = 500	1 Legierungstyp - Metallgehäuse
BCY 70	„200“	6	0,01 (40)	—	0,01 (4)	200	—	40	5	50	(45)	P _{tot} = 350	1 Planar-Epitaxial Metallgehäuse
BCY 71	„200“	2	0,05 (40)	—	0,01 (4)	200	—	45	5	45	(90)	P _{tot} = 350	1 Planar-Epitaxial Metallgehäuse
BCY 72	„200“	6	0,05 (20)	—	0,01 (4)	200	—	25	5	25	(40)	P _{tot} = 350	1 Planar-Epitaxial Metallgehäuse
BCY 78	„180“	2	0,02 (35)	0,02 (4)	—	200	20	32	5	32	(120... 1000)	P _{tot} = 770	1 Planar-Epitaxial Metallgehäuse
BCY 79	„180“	2	0,02 (35)	0,02 (4)	—	200	20	45	5	45	(120... 1000)	P _{tot} = 770	1 Planar-Epitaxial Metallgehäuse
2N2904	„200“	—	0,020 (50)	—	—	600	—	40	5	60	(20)	P _{tot} = 600 bei $\vartheta_U = 25^\circ C$	1 Planar-Epitaxial Metallgehäuse
2N2905	„200“	—	0,020 (50)	—	—	600	—	40	5	60	(35)	P _{tot} = 600 bei $\vartheta_U = 25^\circ C$	1 Planar-Epitaxial Metallgehäuse
2N2904A	„200“	—	0,010 (50)	—	—	600	—	60	5	60	(40)	P _{tot} = 600 bei $\vartheta_U = 25^\circ C$	1 Planar-Epitaxial Metallgehäuse
2N2905A	„200“	—	0,010 (50)	—	—	600	—	60	5	60	(75)	P _{tot} = 600 bei $\vartheta_U = 25^\circ C$	1 Planar-Epitaxial Metallgehäuse
2N2906	„200“	—	0,020 (50)	—	—	600	—	40	5	60	(20)	P _{tot} = 400 bei $\vartheta_U = 25^\circ C$	1 Planar-Epitaxial Metallgehäuse
2N2907	„200“	—	0,020 (50)	—	—	600	—	40	5	60	(35)	P _{tot} = 400 bei $\vartheta_U = 25^\circ C$	1 Planar-Epitaxial Metallgehäuse
2N2906A	„200“	—	0,010 (50)	—	—	600	—	60	5	60	(40)	P _{tot} = 400 bei $\vartheta_U = 25^\circ C$	1 Planar-Epitaxial Metallgehäuse

gg	Typ	f_β (f_α)	F "fT" in MHz	Restströme				Grenzwerte				β (B)	Verlust- leistung in mW	Bauform Art Bemerkung	
				$-J_{CBO}$	$-J_{CEO}$	$-J_{EBO}$	$-J_C$	$-J_B$	$-U_{CEO}$	$-U_{EBO}$	$-U_{CBO}$				
	2N2907A „200“	—	0,010 (50)	—	—	600	—	60	5	60	(75)	$P_{tot} = 400$ bei $\vartheta_U = 25^\circ C$	1	Planar-Epitaxial Metallgehäuse	
	BCW 56 „130“	2	10	—	0,1(4)	100	—	60	6	80	(100... 450)	$P_{tot} = 150$ bei $\vartheta_U = 50^\circ C$	3	Planar-Epitaxial Kunststoffgehäuse	
	BCW 57 „130“	2	10	—	0,1(4)	100	—	45	6	50	(100... 450)	$P_{tot} = 150$ bei $\vartheta_U = 50^\circ C$	3	Planar-Epitaxial Kunststoffgehäuse	
	BCW 58 „130“	2	10	—	0,1(4)	100	—	20	5	30	(100... 450)	$P_{tot} = 150$ bei $\vartheta_U = 50^\circ C$	3	Planar-Epitaxial Kunststoffgehäuse	
	BCW 59 „130“	2	10	—	0,1(4)	100	—	20	5	30	(100... 450)	$P_{tot} = 150$ bei $\vartheta_U = 50^\circ C$	3	Planar-Epitaxial Kunststoffgehäuse	
	BCZ 10	(1,0)	8	0,001 (10)	—	0,001 (10)	50	15	$-U_{CE}$ 25	$-U_{EB}$ 20	$-U_{CB}$ 25	15... 60		30	Allglasgehäuse mit Metallumhüllung Kollektorseite: roter Punkt
	BCZ 11	(1,5)	6	0,001 (10)	—	0,001 (10)	50	15	$-U_{CE}$ 25	$-U_{EB}$ 20	$-U_{CB}$ 25	25... 60		30	Allglasgehäuse mit Metallumhüllung Kollektorseite: roter Punkt
	BCZ 12	(1,0)	8	0,01 (10)	—	0,01 (10)	50	15	$-U_{CE}$ 60	$-U_{EB}$ 30	$-U_{CB}$ 60	15		30	Allglasgehäuse mit Metallumhüllung Kollektorseite: roter Punkt

8 6.6. npn-Siliziumtransistor für HF-Verstärker und allgemeine Anwendung

Typ	f_β	F	Restströme			Grenzwerte				β	Verlustleistung (B)	Bauform Art Bemerkungen bevorz. Anwendung
	(f_α) „ f_T “ in MHz	in dB	J _{CBO}	J _{CEO}	J _{EBO}	J _C in mA	J _B in mA	U _{CEO} in V	U _{EBO} in V	U _{CBO} in V		
RFT												
SF 136	„300“	7,8	0,1(20)	0,1(5)	—	200	20	12	5	20	18... 1120	P _{VL} = 300 1 bei $\vartheta_a = 25^\circ\text{C}$ Planar-Epitaxial Metallgehäuse allgemein, HF
SF 137	„300“	6,8	0,1(40)	0,1(5)	—	200	20	20	5	40	18... 1120	P _{VL} = 300 1 bei $\vartheta_a = 25^\circ\text{C}$ Planar-Epitaxial Metallgehäuse HF, allgemein
SF 215	„100“	8	0,1(20)	—	—	100	10	15	5	20	28... 560	P _{VL} = 200 2 bei $\vartheta_a = 25^\circ\text{C}$ Planar Kunststoffgehäuse
SF 216	„100“	8	0,1(20)	—	—	100	10	20	5	40	28... 560	P _{VL} = 200 2 bei $\vartheta_a = 25^\circ\text{C}$ Planar Kunststoffgehäuse

UdSSR

KT 326A	„400“	—	0,1(10)	—	0,1(3)	50	—	15	4	20	(20... 70)	P _{tot} = 250 26 bei $\vartheta_c = 20^\circ\text{C}$ Planar-Epitaxial Metallgehäuse
KT 326B	„400“	—	0,1(10)	—	0,1(3)	50	—	15	4	20	(45... 160)	P _{tot} = 250 26 bei $\vartheta_c = 20^\circ\text{C}$ Planar-Epitaxial Metallgehäuse
KT 603A	„200“	—	10(30)	—	—	300	—	U _{CER} 3	30	10... 80	P _{tot} = 500 27 bei $\vartheta_a = 20^\circ\text{C}$ Planar-Epitaxial Metallgehäuse	
KT 603B	„200“	—	10(30)	—	—	700	—	U _{CER} 3	30	10... 80	P _{tot} = 500 27 bei $\vartheta_a = 20^\circ\text{C}$ Planar-Epitaxial Metallgehäuse	
KT 603W	„200“	—	5(15)	—	—	300	—	U _{CER} 3	15	60	P _{tot} = 500 27 bei $\vartheta_a = 20^\circ\text{C}$ Planar-Epitaxial Metallgehäuse	
KT 603G	„200“	—	5(15)	—	—	300	—	U _{CER} 3	15	60	P _{tot} = 500 27 bei $\vartheta_a = 20^\circ\text{C}$ Planar-Epitaxial Metallgehäuse	
KT 603D	„200“	—	3(10)	—	—	300	—	U _{CER} 3	10	60... 200	P _{tot} = 500 27 bei $\vartheta_a = 20^\circ\text{C}$ Planar-Epitaxial Metallgehäuse	

Typ	f_β (f_α) „ f_T “ in MHz	F dB	Restströme			Grenzwerte				β (B)	Verlust- leistung in mW	Bauform Art Bemerkungen bevorz. Anwendung
			J_{CBO}	J_{CEO}	J_{EBO}	J_C in mA	J_B in mA	U_{CEO}	U_{EBO}	U_{CBO}		
KT 603E „200“	—	3(10)	—	—	—	300	—	U_{CER} 3 10	10	60... 200	$P_{tot} = 500$	27 bei $\vartheta_a = 20^\circ C$ Planar-Epitaxial Metallgehäuse
KT 312B „120“	—	10(15)	—	10(4)	30	—	U_{CER} 4 15	15	(25... 100)	$P_{tot} = 450$	28 bei $\vartheta_a = 60^\circ C$ Planar Metallgehäuse	
KT 312W „120“	—	10(15)	—	10(4)	30	—	U_{CER} 4 30	30	(50... 280)	$P_{tot} = 450$	28 bei $\vartheta_a = 60^\circ C$ Planar Metallgehäuse	
Ungarn												
BF 184 „300“	--	—	—	—	—	30	—	20	5	30	115	$P_{tot} = 145$
												Planar-Epitaxial
												Metallgehäuse
												UKW
BF 185 „220“	—	—	—	—	—	30	—	20	5	30	67	$P_{tot} = 145$
												Planar-Epitaxial
												Metallgehäuse
												UKW
BSY 34 „400“	—	0,070 (50)	—	—	—	600	—	40	5	60	42	$P_{tot} = 700$
												Planar-Epitaxial
												Metallgehäuse
												schneller Schalter
BSY 58 „400“	0,1(20) (50)	—	—	—	—	600	—	25	5	50	25	$P_{tot} = 700$
												Planar-Epitaxial
												Metallgehäuse
												schneller Schalter
Telefunken												
BSY 19 „300“ (2 N 708)	—	0,025 (20)	—	—	—	200	—	15	5	40	(30... 120)	$P_{tot} = 320$
												bei $t_{amb} = 45^\circ C$
												Planar-Epitaxial
												Metallgehäuse
												Oszillator
												sehr schneller
												Schalter
BSY 21 „300“ (2 N 914)	—	0,025 (20)	—	—	—	500	—	15	5	40	(30... 120)	$P_{tot} = 320$
												bei $t_{amb} = 45^\circ C$
												Planar-Epitaxial
												Metallgehäuse
												sehr schneller
												Schalter

Typ	f_β (f_α)	F	Restströme			Grenzwerte				β (B)	Verlust- leistung in mW	Bauform Art Bemerkungen bevorz. Anwendung	
			J _{CBO}	J _{CEO}	J _{EBO}	J _C	J _B	U _{CEO}	U _{EBO}				
			"f _T " in MHz	in dB	in μ A			in mA	in V				
BF 115	„230“	—	0,5(10)	—	—	30	—	30	5	50	(80)	P _{tot} = 145 bei t _{amb} = 45 °C	12 Planar-Epitaxial Metallgehäuse UKW
BC 194	„250“	—	—	—	—	800	—	25	5	40	(40... 250)	P _{tot} = 100 bei t _{amb} = 45 °C	6 Planar-Epitaxial Kunststoffgehäuse HF-Verstärker sehr schneller Schalter
BF 184	„260“	3,5	—	—	—	30	—	20	5	30	(115)	P _{tot} = 145 bei t _{amb} = 45 °C	12 Metallgehäuse Planar-Epitaxial HF- u. ZF-Stufen, Vor- u. Misch- stufen bis KW
BF 185	„200“	4	—	—	—	30	—	20	5	30	(67)	P _{tot} = 145 bei t _{amb} = 45 °C	12 Planar-Epitaxial Vor- u. Misch- stufen UKW
BF 194	„260“	—	—	—	—	30	—	20	5	30	(115)	P _{tot} = 120 bei t _{amb} = 45 °C	16 Planar-Epitaxial Kunststoffgehäuse HF- u. ZF-Stufen, Vor- u. Misch- stufen bis KW
BF 254	„260“	—	—	—	—	30	—	20	5	30	(115)	P _{tot} = 120 bei t _{amb} = 45 °C	16 Planar-Epitaxial Kunststoffgehäuse HF- u. ZF-Stufen, Vor- u. Misch- stufen bis KW
BF 195	„200“	4	—	—	—	1	—	20	5	30	(67)	P _{tot} = 180 bei t _{amb} = 45 °C	16 Planar-Epitaxial Kunststoffgehäuse Vor- u. Misch- stufen bis UKW

Typ	f_β (f_α) „f _T “ in MHz	F dB	Restströme			Grenzwerte				β (B)	Verlust- leistung in mW	Bauform Art Bemerkungen bevorz. Anwendung
			J _{CBO}	J _{CEO}	J _{EBO}	J _C	J _B	U _{CEO}	U _{EBO}			
BF 255	„200“	4	—	—	—	1	—	20	5	30	(67)	P _{tot} = 180 bei t _{amb} = 45 °C
												16 Kunststoffgehäuse Vor- u. Misch- stufen bis UKW
BF 229	„260“	—	—	—	—	30	—	20	5	30	(115)	P _{tot} = 50 bei t _{amb} = 45 °C
												18 Kunststoffgehäuse HF- u. ZF-Stufen, Vor- u. Misch- stufen bis KW
BF 230	„200“	4	—	—	—	30	—	20	5	30	(67)	P _{tot} = 50 bei t _{amb} = 45 °C
												18 Kunststoffgehäuse Vor- u. Misch- stufen
BFY 27 (2 N 915)	„250“	—	—	—	—	10	—	50	5	70	(40... 160)	P _{C+E} = 320 I bei t _{amb} = 45 °C
												Planar Metallgehäuse Schalter, Verstär- ker, Oszillator
BSW 10	„200“	—	—	—	—	800	—	65	7	90	(40)	P _{tot} = 600 bei t _{amb} = 45 °C
												1 Metallgehäuse HF, sehr schnelle Schalter
BSW 12	„200“	—	—	—	—	200	—	20	5	40	(40)	P _{tot} = 50 bei t _{amb} = 45 °C
												7 Kunststoffgehäuse sehr schneller Schalter
BSW 19	„150“	—	—	—	—	100	—	30	5	35	(75... 750)	P _{tot} = 215 bei t _{amb} = 45 °C
												1 Metallgehäuse sehr schneller Schalter

Typ	f_β (f_α)	F	Restströme			Grenzwerte				β	Verlust- leistung	Bauform	
	"f _T " in MHz	in dB	J _{CBO}	J _{CEO}	J _{EBO}	J _C	J _B	U _{CEO}	U _{EBO}	U _{CBO}	(B)	Art Bemerkungen bevorz. Anwendung	
BSX 38 „200“	—	0,001 (25)	—	—	—	200	—	30	5	35	(100... 750)	P _{tot} = 345 bei t _{amb} = 45 °C	1 Planar-Epitaxial Metallgehäuse Schalter
BSX 53 „200“	—	0,001 (25)	—	—	—	100	—	30	5	35	(50)	P _{tot} = 130 bei t _{amb} = 45 °C	1 Planar-Epitaxial Metallgehäuse Schalter
BSX 54 „200“	—	0,001 (25)	—	—	—	100	—	45	5	50	(50)	P _{tot} = 130 bei t _{amb} = 45 °C	1 Planar-Epitaxial Metallgehäuse Schalter
BSX 72 „200“	—	—	—	—	—	1500	—	25	5	40	(40)	P _{tot} = 700 bei t _{amb} = 45 °C	1 Planar-Epitaxial Metallgehäuse HF, Schalter
BSX 75 „200“	—	—	—	—	—	1000	—	25	5	40	(40)	P _{tot} = 430 bei t _{amb} = 45 °C	1 Planar-Epitaxial Metallgehäuse HF, schneller Schalter
BSX 80 „200“	—	0,050 (20)	—	—	—	200	—	15	5	35	(80)	P _{tot} = 180 bei t _{amb} = 45 °C	19 Planar-Epitaxial Kunststoffgehäuse sehr schneller Schalter
BSX 81 „200“	—	—	—	—	—	200	—	30	5	35	(75)	P _{tot} = 230 bei t _{amb} = 45 °C	19 Planar-Epitaxial Kunststoffgehäuse Schalter
BSW 88 „200“	—	—	—	—	—	200	—	30	5	35	(75)	P _{tot} = 230 bei t _{amb} = 45 °C	19 Planar-Epitaxial Kunststoffgehäuse Schalter

Typ	f_β (f_α)	F „f _T “ in MHz	Restströme J _{CBO} in dB	J _{CEO}	J _{EBO}	Grenzwerte				β (B)	Verlust- leistung in mW	Bauform Art Bemerkungen bevorz. Anwendung
						J _C in mA	J _B in mA	U _{CEO} in V	U _{EBO} in V	U _{CBO}		
BSY 19 „300“ (2 N 708)	—	0,025 (20)	—	—	—	200	—	15	5	40 (30... 120)	P _{tot} = 320 bei t _{amb} = 45 °C	1 Planar-Epitaxial Metallgehäuse HF, sehr schneller Schalter
BSY 21 „300“ (2 N 914)	—	0,025 (20)	—	—	—	500	—	15	5	40 (30... 120)	P _{tot} = 320 bei t _{amb} = 45 °C	1 Planar-Epitaxial Metallgehäuse sehr schneller Schalter
BSY 70 „200“ (2 N 706)	—	0,5 (15)	—	—	—	10	—	20	3	25 (20)	P _{tot} = 260 bei t _{amb} = 45 °C	1 Planar-Epitaxial Metallgehäuse sehr schneller Schalter
2 N 2218 „250“	—	0,01 (50)	—	—	—	800	—	30	5	60 (35)	P _{tot} = 700 bei t _{amb} = 45 °C	1 Planar-Epitaxial Metallgehäuse HF, sehr schneller Schalter
2 N 2219 „250“	—	0,01 (50)	—	—	—	800	—	30	5	60 (75)	P _{tot} = 700 bei t _{amb} = 45 °C	1 Planar-Epitaxial Metallgehäuse HF, sehr schneller Schalter
2 N 2221 „250“	—	—	—	—	—	800	—	30	5	60 (40... 120)	P _{tot} = 430 bei t _{amb} = 45 °C	1 Planar-Epitaxial Metallgehäuse HF, sehr schneller Schalter
2 N 2222 „250“	—	—	—	—	—	800	—	30	5	60 (100... 300)	P _{tot} = 430 bei t _{amb} = 45 °C	1 Planar-Epitaxial Metallgehäuse HF, sehr schneller Schalter

Typ	f_β (f_α) in MHz	F in dB	Restströme			Grenzwerte				β (B)	Verlust- leistung in mW	Bauform Art Bemerkungen bevorz. Anwendung
			J_{CBO}	J_{CEO}	J_{EBO}	J_C in mA	J_B in mA	U_{CEO} in V	U_{EBO} in V			
BSY 34	„250“	—	—	—	—	600	—	40	5	50	(10)	$P_{tot} = 2060$ 1 bei Planar $T_G = 45^\circ C$ Metallgehäuse schneller Schalter
BSY 58	„250“	—	—	—	—	600	—	30	5	40	(10)	$P_{tot} = 2600$ 1 bei Planar $T_G = 45^\circ C$ Metallgehäuse schneller Schalter
Valvo												
BF 115	„230“	1,2	—	—	—	30	—	30	5	50	(80)	$P_{tot} = 145$ 12 bei Planar-Epitaxial $\vartheta_U = 45^\circ C$ Metallgehäuse UKW
BF 184	„300“	4	—	—	—	30	—	20	5	30	(75... 750)	$P_{tot} = 145$ 12 bei Planar-Epitaxial $\vartheta_U = 45^\circ C$ Metallgehäuse UKW
BF 185	„220“	4	—	—	—	30	—	20	5	30	(34... 140)	$P_{tot} = 145$ 12 bei Planar-Epitaxial $\vartheta_U = 45^\circ C$ Metallgehäuse, UKW
BF 194	„260“	4	—	—	—	30	—	20	5	30	(115)	$P_{tot} = 200$ 13 bei Planar-Epitaxial $\vartheta_U = 45^\circ C$ Kunststoffgehäuse UKW
BF 195	„200“	4	—	—	—	30	—	20	5	30	(67)	$P_{tot} = 200$ 13 bei Planar-Epitaxial $\vartheta_U = 45^\circ C$ Kunststoffgehäuse UKW
BF 254	„260“	4	—	—	—	30	—	20	5	30	(115)	$P_{tot} = 240$ 17 bei Planar-Epitaxial $\vartheta_U = 45^\circ C$ Kunststoffgehäuse UKW
BF 255	„200“	4	—	—	—	30	—	20	5	30	(67)	$P_{tot} = 240$ 17 bei Planar-Epitaxial $\vartheta_U = 45^\circ C$ Kunststoffgehäuse UKW

6.7. npn-Siliziumtransistor zum Einsatz in geregelten FS-ZF-Verstärkerstufen in Emitterschaltung

Typ	f_β (f_α) in MHz	F in dB	Restströme			Grenzwerte				β (B)	Verlust- leistung in mW	Bauform Art Bemerkungen
			J_{CBO}	J_{CEO}	J_{EBO}	J_C in mA	J_B in mA	U_{CEO} in V	U_{EBO}			
RFT												
SF 240	„440“	—	—	—	—	25	—	30	4	40	$G_p =$ 31 dB	$P_{VL} = 160$ bei $\vartheta_a = 25^\circ C$
Rumänien												
BF 167	„350“	—	—	—	—	25	—	30	4	40	(40)	$P_C = 130$
Intermetall												
BF 127	„350“	0,05 (20)	—	—	—	25	—	30	4	40	(60)	$P_{tot} = 265$ Planar
BF 167	„350“	—	—	—	—	25	3	30	4	40	$V_{pe} =$ 26 dB	$P_{tot} = 130$ Planar
Telefunken												
BF 167	„350“	—	—	—	—	25	—	30	4	40	(57)	$P_{tot} = 130$ bei $t_{amb} = 45^\circ C$
BF 196	„400“	—	—	—	—	25	3	30	4	40	(80)	$P_{tot} = 200$ bei $t_{amb} = 45^\circ C$
BF 198	„400“	—	—	—	—	25	3	30	4	40	(80)	$P_{tot} = 200$ bei $t_{amb} = 45^\circ C$
BF 311	„750“	50 nA (20)	—	—	—	25	—	25	4	35	(40)	$P_{tot} = 300$ Planar-Epitaxial
Valvo												
BF 167	„350“	—	—	—	—	25	—	30	4	40	$V_{p\ opt} =$ 42 dB	$P_{tot} = 130$ bei $\vartheta_U = 45^\circ C$
BF 196	„400“	—	—	—	—	25	—	30	4	40	(67)	$P_{tot} = 200$ bei $\vartheta_U = 45^\circ C$

104 6.8. npn-Siliziumtransistor zum Einsatz in nicht geregelten FS-ZF-Verstärkerstufen in Emitter-schaltung

Typ	f_B (f_α) „f _T “ in in MHz	F dB	Restströme			Grenzwerte				β (B)	Verlust- leistung in mW	Bauform Bemerkungen Art
			J _{CBO}	J _{CEO}	J _{EBO}	J _C in mA	J _B in V	U _{CEO}	U _{EBO}			
RFT												
SF 245	„780“	—	—	—	—	25	—	25	4	40	$G_p =$ 28 dB	$P_{VL} = 200$ bei $\vartheta_a = 25^\circ\text{C}$
Rumänien												
BF 173	„550“	—	—	—	—	25	—	25	4	40	(80)	$P_C = 200$ Planar-Epitaxial
Intermetall												
BF 123	„550“	0,05 (20)	—	—	—	25	3	25	4	40	$V_{p\text{ opt}} =$ 42 dB	$P_{tot} = 265$ bei $T_u = 25^\circ\text{C}$
BF 173	„550“	—	—	—	—	25	3	25	4	40	$V_{pe} =$ 26 dB	$P_{tot} = 200$ bei $T_u = 45^\circ\text{C}$
Telefunken												
BF 173	„550“	—	—	—	—	25	—	25	4	40	(88)	$P_{tot} = 200$ bei $t_{amb} = 45^\circ\text{C}$
BF 197	„550“	—	—	—	—	25	—	25	4	40	(88)	$P_{tot} = 200$ bei $t_{amb} = 45^\circ\text{C}$
BF 199	„550“	—	—	—	—	25	2	25	4	40	(88)	$P_{tot} = 200$ bei $t_{amb} = 45^\circ\text{C}$
BF 223	„750“	—	—	—	—	40	—	25	4	35	(79)	$P_{tot} = 350$ bei $t_{amb} = 45^\circ\text{C}$
Valvo												
BF 173	„550“	—	—	—	—	25	—	25	4	40	$V_{p\text{ opt}} =$ 42 dB	$P_{tot} = 260$ $\vartheta_u = 45^\circ\text{C}$
BF 197	„550“	—	—	—	—	25	—	25	4	40	(115)	$P_{tot} = 200$ bei $\vartheta_u = 45^\circ\text{C}$

6.9. npn-Siliziumtransistor zum Einsatz in Videoendstufen

Typ	f_β (f_α) „f _T “ in MHz	F dB	Restströme			Grenzwerte				β (B)	Verlust- leistung in mW	Bauform Art Bemerkungen
			J_{CBO}	J_{CEO}	J_{EBO}	J_C in mA	J_B in mA	U_{CEO}	U_{EBO}			
RFT												
SF 150	„80“	0,1 (140)	—	—	50	10	U_{CER}	5	160	29... 140	$P_{VL} = 600$ bei $\theta_a = 25^\circ\text{C}$	1 Planar Metallgehäuse
ČSSR												
KF 503	„150“	0,5(50)	—	—	50	10	U_{CER}	—	U_{CB}	70	$P_{tot} = 700$	1 Planar
KF 504	„150“	0,1	—	—	50	10	U_{CER}	—	U_{CB}	70	$P_{tot} = 700$	1 Planar
UdSSR												
KT 601A	„40“	—	—	—	30	30	100	2	100	(16)	$P_{tot} = 500$	24 Planar Metallgehäuse
Ungarn												
BF 177	„120“	—	—	—	40	—	100	5	—	20	$P_{tot} = 600$ bei $T_u = 45^\circ\text{C}$	1 Planar Metallgehäuse
BF 178	„120“	—	—	—	50	—	160	5	—	20	$P_{tot} =$ bei $T_u = 45^\circ\text{C}$	1 Planar Metallgehäuse
Hitachi												
2 SC 154C	„120“	0,1 (100)	—	—	100	—	200	6	200	—	$P_C = 1000$	1 Mesa Metallgehäuse
2 SC 154A	„150“	—	—	—	100	—	110	5	150	35... 2000	$P_C = 1000$	1 Mesa
2 SC 154B	„150“	—	—	—	100	—	150	5	150	35... 200	$P_C = 1000$	1 Mesa
Intermetall												
BF 117	„80“	0,010 (100)	—	0,05 (4)	100	—	140	5	140	(25)	$P_{tot} = 1270$ bei $T_G = 100^\circ\text{C}$	1 Planar Metallgehäuse
BFY 43	„60“	0,1(90)	—	—	100	—	140	5	140	(25)	$P_{tot} = 800$ bei $T_u = 25^\circ\text{C}$	1 Planar Metallgehäuse

Typ	f_β (f_T) in MHz	F in dB	Reströme			Grenzwerte				β (B)	Verlust- leistung in mW	Bauform Art Bemerkungen
			J_{CBO}	J_{CEO}	J_{EBO}	J_C in mA	J_B in V	U_{CEO}	U_{EBO}			
Sanyo												
2 SC 65	„45“		1,5(20)	—	1,5(2)	50	—	U_{CER}	3	130	—	$P_C = 600$
								130				Mesa
2 SC 66	„100“		1,5(20)	—	1,5(2)	50	—	U_{CER}	3	130	—	$P_C = 600$
								130				Metallgehäuse
Siemens												
BF 110	(200)		0,02	—	—	30	—	90	3	170	(20)	$P_{tot} = 2600$
			(50)									bei Planar
Telefunken												
BF 114	„100“	—	—	—	—	50	—	130	5	160	(25)	$P_{tot} = 2160$
												bei $t_{case} =$ Planar
BF 177	„120“	—	—	—	—	50	—	60	5	100	(20)	$P_{tot} = 1700$
												45 °C Metallgehäuse
												bei $t_{amb} =$ Planar
												45 °C Metallgehäuse
BF 178												
BF 178	„120“	—	—	—	—	50	—	115	5	160	(20)	$P_{tot} = 1700$
												bei $t_{case} =$ Planar
												110 °C Metallgehäuse
Valvo												
BF 177	„120“	—	J_{CER}	—	30	50	—	60	5	100	(20)	$P_{tot} = 600$
					(100)							Planar
BFY 78	„120“	—	J_{CER}	—	50	50	—	115	5	185	(20)	$P_{tot} = 1700$
					(165)							Metallgehäuse
BFY 79	„120“	—	J_{CER}	—	100	50	—	115	5	250	(20)	$P_{tot} = 1700$
					(260)							Planar
BD 115	„145“	0,550	—	0,1(5)	150	—	180	5	245	(60)	$P_{tot} = 6000$	
		(200)										bei Planar
												$\theta_G = 100$ °C Metallgehäuse

6.10: npn-Siliziumtransistor zur Ansteuerung von Ziffernanzeigeröhren

Typ	f_β (f_α) „ f_T “ in MHz	Restströme			Grenzwerte				β (B)	Verlust- leistung in mW	Bauform Art Bemerkungen
		J_{CBO}	J_{CEO}	J_{EBO}	J_C	J_B	U_{CEO}	U_{EBO}			
RFT											
SS 200	—	—	J_{CEV} 1 (70)	0,1(5)	30	10	U_{CEV} 5 70	70	32	$P_{VL} = 150$ 2 bei $\vartheta_a = 25^\circ\text{C}$	Planar Kunststoffgehäuse
SS 201	—	—	J_{CEV} 1 (100)	0,1(5)	30	10	U_{CEV} 5 100	100	32	$P_{VL} = 150$ 2 bei $\vartheta_a = 25^\circ\text{C}$	Planar Kunststoffgehäuse
SS 202	—	—	J_{CEV} 1 (120)	0,1(5)	30	10	U_{CEV} 5 120	120	32	$P_{VL} = 150$ 2 bei $\vartheta_a = 25^\circ\text{C}$	Planar Kunststoffgehäuse
Intermetall											
BSY 79 „100“	0,05 (90)	—	0,05 (4)	—	30	—	U_{CEO} 5 120	120	(60)	$P_{tot} = 300$ 1 bei $T_U = 25^\circ\text{C}$	Planar-Epitaxial Metallgehäuse
Siemens											
BFY 45 „200“	0,1(50)	—	—	—	30	5	90	3	170	—	$P_{tot} = 2200$ 1 bei $T_G = 45^\circ\text{C}$
Telefunken											
BF 228 „50“	0,1(75)	—	—	—	50	—	U_{CER} 7 90	100	(30)	$P_{tot} = 50$ 11 Planar	Kunststoffgehäuse
BFY 65 „50“	0,1(75)	—	—	—	200	—	U_{CER} 7 90	100	(30)	$P_{tot} = 565$ 1 bei $t_{amb} = 45^\circ\text{C}$	Planar Metallgehäuse
BFY 80 „50“	0,1(75)	—	—	—	200	—	U_{CER} 7 90	100	(30)	$P_{tot} = 260$ 1 bei $t_{amb} = 45^\circ\text{C}$	Planar Metallgehäuse
Valvo											
BSX 21 „60“	0,2(90)	J_{CES} 20 (80)	0,2(4)	100	—	80	5	120	(20)	$P_{tot} = 300$ 1 Planar-Epitaxial Metallgehäuse	
BSW 69 „130“	0,01 (150)	J_{CEV} 100 (100)	0,1(4)	50	—	U_{CER} 6 150	150	(30)	$P_{tot} = 125$ 3 Planar-Epitaxial Kunststoffgehäuse		

II 6.11. npn-Siliziumtransistor zum Einsatz in Datenverarbeitungsanlagen, digitale Anwendung und logische Schaltungen

Typ	f_β (f_α) in MHz	F in dB	Reströme			Grenzwerte				β (B)	Verlust leistung in mW	Bauform Art Bemerkungen
			J_{CBO}	J_{CEO}	J_{EBO}	J_C in mA	J_B in mA	U_{CEO} in V	U_{EBO} in V			
RFT												
SS 106	„200“	—	0,05 (15)	—	—	200	—	15	5	25 18... 560	$P_{VL} = 300$ bei $\vartheta_a = 25^\circ C$	1 Planar-Epitaxial Metallgehäuse schnelle Logik- schaltungen
SS 108	„300“	—	0,05 (20)	—	—	200	—	15	5	40 18... 560	$P_{VL} = 300$ bei $\vartheta_a = 25^\circ C$	1 Planar-Epitaxial Metallgehäuse Schnelle Logik- schaltungen
SS 109	„200“	—	0,05 (15)	—	—	200	—	15	5	20 18... 280	$P_{VL} = 300$ bei $\vartheta_a = 25^\circ C$	1 Planar-Epitaxial Metallgehäuse Logikschaltungen
SS 120	$t_{on} =$ 50	ns	0,2(50)	—	—	600	—	40	5	60 18... 140	$P_{VL} = 800$ bei $\vartheta_a = 25^\circ C$	1 Planar-Epitaxial Metallgehäuse Schalter für die Datenverarbeitg.
SS 125	„30“	—	0,025 (20)	—	—	500	—	25	5	30 18... 140	$P_{VL} = 600$ bei $\vartheta_a = 25^\circ C$	1 Planar-Epitaxial Metallgehäuse für Datenverarbei- tungsanlagen
SS 126	„30“	—	0,025 (40)	—	—	500	—	50	5	60 18... 140	$P_{VL} = 600$ bei $\vartheta_a = 25^\circ C$	1 Planar-Epitaxial Metallgehäuse für Datenverarbei- tungsanlagen
SS 216	„350“	—	0,1(20)	—	—	100	—	15	5	20 18... 550	$P_{VL} = 200$ bei $\vartheta_a = 25^\circ C$	2 Planar-Epitaxial Kunststoffgehäuse digitale Anwendg.

H	Typ	f_β (f_α) in MHz	F dB	Reströme			Grenzwerte				β (B)	Verlust- leistung in mW	Bauform Art Bemerkungen	
				J_{CBO}	J_{CEO}	J_{EBO}	J_C in mA	J_B in mA	U_{CEO} in V	U_{EBO} in V	U_{CBO} in V			
	SS 218	„350“	—	0,3(20)	—	—	100	—	15	5	20	18...	$P_{VL} = 200$	2
										550		bei $\vartheta_a = 25$ °C	Planar-Epitaxial Kunststoffgehäuse digitale Anwendg.	
	SS 219	$t_{on} =$ 35 ns	—	0,3(20)	—	—	100	—	15	5	20	18...	$P_{VL} = 200$	2
										560		bei $\vartheta_a = 25$ °C	Planar-Epitaxial Kunststoffgehäuse digitale Anwendg.	
Hitachi														
	2 SC 468	—	—	0,25 (20)	—	1,0(4)	200	—	15	5	40	(35... 200)	$P = 200$	31
													Planar-Epitaxial Metallgehäuse	
Siemens														
	BSY 18	„300“	—	0,003 (20)	—	—	600	—	12	5	20	—	$P_{tot} = 2600$	1
												bei $T_G = 45$ °C	Planar Metallgehäuse Kerntreiber	
	BSY 62	„300“	—	0,003 (20)	—	—	600	—	12	5	20	—	$P_{tot} = 2600$	1
												bei $T_G = 45$ °C	Planar Metallgehäuse Kerntreiber	
	BSY 63	„300“	—	0,003 (20)	—	—	600	—	15	5	40	—	$P_{tot} = 2600$	1
												bei $T_G = 45$ °C	Planar Metallgehäuse Kerntreiber	
Valvo														
	BSX 19	„400“ (2N2368)	—	0,4(20)	—	0,01 (4,5)	500	—	15	4,5	40	(20... 60)	$P_{tot} = 320$	1
												bei $\vartheta_U = 45$ °C	Planar-Epitaxial Metallgehäuse logische Schalter	
	BSX 20	„500“ (2N2369)	—	0,4(20)	—	0,01 (4,5)	500	—	15	4,5	40	(40... 120)	$P_{tot} = 320$	1
												bei $\vartheta_U = 45$ °C	Planar-Epitaxial Metallgehäuse logische Schalter	
	BSX 12	„450“	—	J_{CBS} 100 (15)	—	—	1000	—	12	4	15	(> 30)	$P_{tot} = 500$	1
												bei $\vartheta_U = 45$ °C	Planar-Epitaxial Metallgehäuse Treiber f. Magnet- kernspeicher	

III 6	Typ	f_β (f_α) "fT" in MHz	F dB	Restströme			Grenzwerte				β (B)	Verlust- leistung in mW	Bauform Art Bemerkungen
				J _{CBO}	J _{CEO}	J _{EBO}	J _C	J _B	U _{CEO}	U _{EBO}	U _{CBO}		
				in mA		in V							
BSX 12A „450“	—	J _{CBS}	—	—	1000	—	15	4	25	—	(30)	P _{tot} = 500	1
		100										bei	Planar-Epitaxial
		(15)										$\vartheta_U = 45^\circ\text{C}$	Metallgehäuse
													Treiber f. Magnet- kernspeicher
BSX 59 „250“	—	0,5(40)	—	0,3(4)	1000	—	45	5	70	—	(30)	P _{tot} = 700	1
												bei	Planar-Epitaxial
												$\vartheta_U = 45^\circ\text{C}$	Metallgehäuse
													Treiber f. Magnet- kernspeicher
BSX 60 „250“	—	0,5(40)	—	0,3(4)	1000	—	30	5	70	—	(30)	P _{tot} = 700	1
												bei	Planar-Epitaxial
												$\vartheta_U = 45^\circ\text{C}$	Metallgehäuse
													Treiber f. Magnet- kernspeicher
BSX 61 „250“	—	0,5(40)	—	0,5(4)	1000	—	45	5	70	—	(30)	P _{tot} = 700	1
												bei	Planar-Epitaxial
												$\vartheta_U = 45^\circ\text{C}$	Metallgehäuse
													Treiber f. Magnet- kernspeicher

II 6.12. npn-Siliziumtransistor für HF-Verstärker und Oszillatoren bis 100 MHz

Typ	f_β (f_α)	F „f _T “ in MHz	Restströme J _{CBO} in dB	Grenzwerte				β (B)	Verlust- leistung in mW	Bauform Art Bemerkungen bevorz. Anwendung
				J _{CEO}	J _{EB0}	J _C in mA	J _B in V			
DDR										
SF 215	„100“	8	0,1(20)			100	15	5	20	28... 560
SF 216	„100“	8	0,1(20)			100	20	5	40	28... 560
Rumänien										
BF 214	„250“	3	1 nA (10)			30	30	4	30	90... 330
BF 215	„250“	3	1 nA (10)			30	30	4	30	40... 165
Japan										
2 SC 460	„300“	4				100	30	5	30	35... 200
2 SC 461	„300“	4				100	30	5	30	35... 200
→										
2 SC 535	„700“		0,5(10)			20	20	4	30	35... 200
Telefunken										
BF 185	„200“	2				30	20	5	30	(67) $P_{tot} = 145$
BF 195	„200“	3,5				1	20	5	30	(67) $P_{tot} = 180$
BF 255	„200“	3,5				1	20	5	30	(67) $P_{tot} = 180$
BF 310	„550“		60 nA (25)			25	30	4	40	$P_{tot} = 300$ Planar-Epitaxial

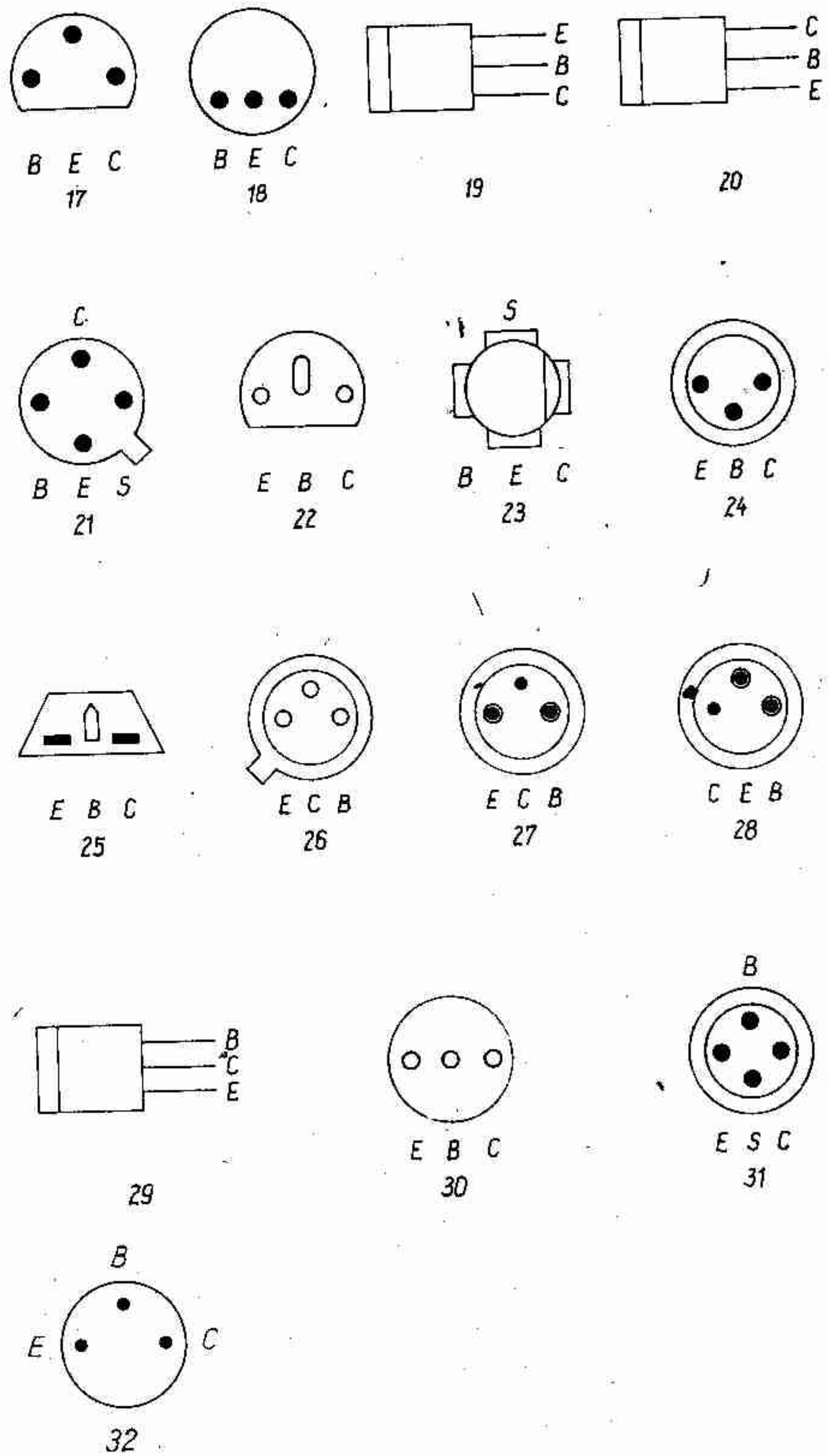
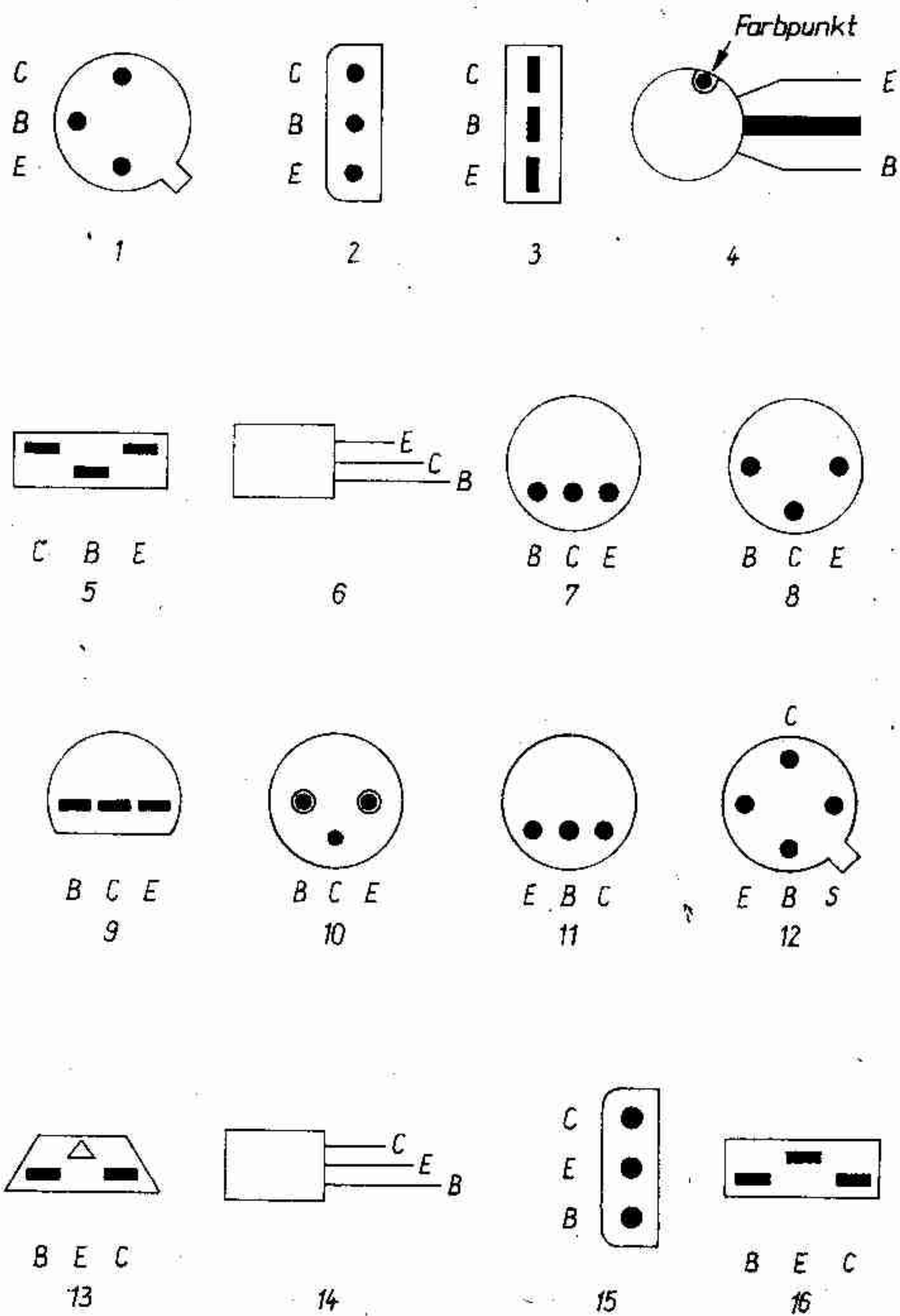
6.13. npn-Siliziumtransistor für HF-Verstärker und Oszillatoren bis 260 MHz

Typ	f_β (f_α) „ f_T “ in MHz	F in dB	Restströme			Grenzwerte				β (B)	Verlust- leistung in mW	Bauform Art. Bemerkungen bevorz. Anwendung
			J_{CBO}	J_{CEO}	J_{EBO}	J_C in mA	J_B in mA	U_{CEO} in V	U_{EBO}	U_{CBO}		
DDR												
SF 235		0,5(40)				25	25	4	40	28... 560	$P_{tot} = 200$	I
Japan												
SE 3001		0,5(15)				12	2	30	20... 50	$P_C = 200$	32	
SE 5020		50(10)				20	3	20	20... 200	$P_C = 175$	21	
SE 5021		50(10)				20	3	20	20... 200	$P_C = 175$	21	

7. Zusammenstellung der Bauformen

Die Darstellungen lassen keine Rückschlüsse auf die Maße der einzelnen Transistortypen zu.

Auch wurden die tatsächlichen Größenunterschiede zwischen den einzelnen Typen nicht berücksichtigt.



8. Anschriftenverzeichnis der Fachfilialen, Bastler- und Amateurfilialen des VEB RFT Industrievertrieb

Fachfilialen „radio – television“

		Telefon
233 Bergen,	Marktstraße 14	6 24
25 Rostock,	Steinstraße 6	3 46 35
253 Warnemünde,	Poststraße 31	26 79
256 Bad Doberan,	Karl-Marx-Platz 3	24 19
259 Ribnitz-Damgarten,	Karl-Marx-Straße	21 63
232 Grimmen,	August-Bebel-Straße 6	23 45
22 Greifswald,	Straße der Freundschaft	—
24 Wismar,	Karl-Liebknecht-Straße 10	30 05
26 Güstrow,	Mühlenstraße 58	26 06
285 Parchim,	Neuer Markt 4	27 44
27 Schwerin,	Martinstraße 1	39 71
29 Wittenberge,	Bahnstraße 42	34 27
20 Neubrandenburg,	Wartaustraße 2–4	40 50
205 Teterow,	Otto-Grotewohl-Straße 23	25 30
206 Waren-Müritz,	Langstraße 59	9 62
203 Demmin,	Am Markt 14	3 29
18 Brandenburg,	Steinstraße 66–67	44 28
15 Potsdam,	Friedrich-Ebert-Straße 113	2 29 23
171 Luckenwalde,	Käthe-Kollwitz-Straße 4	29 49
195 Neuruppin,	Karl-Marx-Straße 113	26 97
183 Rathenow,	Forststraße 59	21 78
13 Eberswalde,	Fritz-Ebert-Straße 8	24 39
122 Eisenhüttenstadt,	Leninallee 10	4 60 63
12 Frankfurt/Oder,	Karl-Marx-Straße 13	22 54
75 Cottbus,	Karl-Liebknecht-Straße 126	2 27 92
756 Guben,	Wilhelm-Pieck-Straße 5	29 86
784 Senftenberg,	Bahnhofstraße 11	27 07
327 Burg,	Schartauer Straße	35 09
357 Gardelegen,	Ernst-Thälmann-Straße 11	28 22
324 Haldensleben,	Friedrich-Engels-Platz 6	26 38
3018 Magdeburg,	Lüneburger Straße 25	5 17 90
301 Magdeburg,	Wilhelm-Pieck-Allee 17	3 41 54
372 Blankenburg,	Tränkestraße 7	34 22

		Telefon
356 Salzwedel,	Westermarktstraße 1–5	33 86
33 Schönebeck,	Bahnhofstraße 1a	33 66
37 Wernigerode,	Burgstraße 11–13	27 03
432 Aschersleben,	Markt 25	23 82
435 Bernburg,	Steinstraße 31	25 08
44 Bitterfeld,	Walter-Rathemann-Straße 60	26 49
45 Dessau,	Wilhelm-Pieck-Straße 67	26 85
425 Eisleben,	Leninstraße 9–10	23 94
402 Halle,	Große Ulrichstraße 12	2 50 71
42 Merseburg,	Gagarin-Platz	33 21
43 Quedlinburg,	Carl-Ritter-Straße 2–3	27 43
47 Sangerhausen,	Göpenstraße 28	31 98
485 Weißenfels,	Merseburger Straße 25	27 04
46 Wittenberg,	Collegienstraße 26	30 21
501 Erfurt,	Anger 7	2 26 59
58 Gotha,	Hauptmarkt 32	28 43
57 Mühlhausen,	Steinweg 43	26 30
55 Nordhausen,	Arnoldstraße 21	20 43
53 Weimar,	Wielandplatz 3	36 02
59 Eisenach,	Goldschmiedenstraße 18–20	35 19
69 Jena,	Johannesstraße 19	2 48 95
684 Pößneck,	Steinweg 4–6	27 00
611 Hildburghausen,	Karl-Marx-Straße 8	20 50
64 Sonneberg,	Karl-Marx-Straße 42	26 13
63 Ilmenau,	Straße des Friedens 5	27 37
608 Schmalkalden,	Weidenbrunner Gasse 22	23 93
61 Meiningen,	Rudolf-Breitscheid-Straße 15	22 70
8023 Dresden,	Bürgerstraße 47	5 47 81
801 Dresden,	Ernst-Thälmann-Str. 25–29	4 28 12
8016 Dresden,	Borsberger Straße 18	3 57 06
89 Görlitz,	Berliner Straße 63	56 10
825 Meißen,	Marktgasse 7	28 09
84 Riesa,	Ernst-Thälmann-Straße 84	41 63
88 Zittau,	Innere Weber Straße 31	20 02
73 Döbeln,	Stadthausstraße 3	35 86
701 Leipzig,	Petersstraße 39–41	20 01 41
728 Eilenburg,	Leipziger Straße	35 86
94 Aue,	Ecke Bernhardisstraße	
	Äußere Schneeberger Str. 3	22 81

		Telefon
92	Freiberg,	Lomonossow-Straße 33 93
933	Olbernhau,	Markstraße 2 23 24
99	Plauen,	Bahnhofstraße 55 46 23
601	Karl-Marx-Stadt,	Straße der Nationen 4 62 11
102	Berlin,	Alexanderplatz 6 2 18 28 14 2 18 28 98
1157	Berlin,	Dönhoffstraße 41 50 09 18

Bastler- und Amateurfilialen

25	Rostock,	Steinstraße 6 3 46 35
27	Schwerin,	Martinstraße 1 39 71
15	Potsdam,	Friedrich-Ebert-Straße 113 2 29 23
75	Cottbus,	Marktstraße 2 2 51 81
3018	Magdeburg,	Lüneburger Str. 25 5 12 77
402	Halle,	Clement-Gottwald-Straße 3 54 66
501	Erfurt,	Hermann-Jahn-Str. 11—12 2 21 08
801	Dresden,	Ernst-Thälmann-Straße 9 49 10 02
701	Leipzig,	Grimmaische Straße 25 2 48 25
901	Karl-Marx-Stadt,	Straße der Nationen 46 4 62 11
1034	Berlin,	Kopernikusstraße 3 5 89 23 90
1058	Berlin,	Kastanienallee 87 44 35 93

Literatur

Die Daten der in der Vergleichsliste angeführten Transistoren wurden den Datenblättern der Hersteller entnommen.

2., überarbeitete Auflage, 21.—35. Tausend
Cheflektorat Militärliteratur

Lizenz-Nr. 5
LSV 3539

Autoren: Ing. Rolf Anders/Ing. Rolf Meißner

Lektor: Ing. Wolfgang Stammler

Gesamtgestaltung: Helmut Herrmann

Zeichnungen: Erich Böhm

Hersteller: Ingeburg Zoschke

Korrektor: Gertraude Matschke

Printed in the German Democratic Republic

Gesamtherstellung: Druckerei Märkische Volksstimme Potsdam A 597

Redaktionsschluß: 15. April 1975

EVP 2,— Mark